

รายงานฉบับสมบูรณ์

เรื่อง

การพัฒนากระบวนการกรอกซีเดชั่นโอโซนสำหรับการบำบัดน้ำเสีย

Development of Ozone Oxidation Process for Wastewater Treatment

โดย

นาย สุเมธ ชวเดช

วิทยาลัยป้องกันและบรรเทาสาธารณภัย
รุ่นพากเพียรมหาวิทยาลัย

626.551
ส.๖๔๓๑

สนับสนุนโดย
งบประมาณแผ่นดินประจำปี 2539
ตุลาคม 2541

รายงานฉบับสมบูรณ์

เรื่อง



การพัฒนาระบบการออกซิเดชันโดยโอโซนสำหรับการบำบัดน้ำเสีย
Development of Ozone Oxidation Process for Wastewater Treatment

โดย

นาย สุเมธ ชวเดช

วิทยาลัยปิโตรเคมีและปิโตรเคมี

จุฬาลงกรณ์มหาวิทยาลัย

สถาบันที่ปรึกษา
จุฬาลงกรณ์มหาวิทยาลัย

สนับสนุนโดย

งบประมาณแผ่นดินประจำปี 2539

ตุลาคม 2541

กิตติกรรมประกาศ

งานวิจัยนี้ได้รับการสนับสนุนงบประมาณแผ่นดินประจำปี 2539 ผู้วิจัยขอขอบคุณ
 วิทยาลัยปิโตรเคมีและปิโตรเคมีที่ให้การสนับสนุนด้วยดีในการอำนวยความสะดวกในการปฏิบัติ
 งานวิจัยนี้ โรงงานสุราแสงสมที่ให้อนุเคราะห์นำเสียที่ใช้ในการทดลองนี้ คุณดวงดาว สุขจิตต์,
 คุณจินตนา จันทร์ศรีวิไลกุล, คุณสาวรยา แย้มสกุลนา, และคุณอัญชารัตน์ เศรษฐนันท์ ที่ช่วย
 ดำเนินงานการทดลองจนลุล่วงและเสร็จสมบูรณ์ คุณจินตนา ชำนาญมูลนุญธรรม ในการวิเคราะห์
 ปริมาณเหล็กและฟีนิพิเม็ดอลูมิโนซีริงใช้ในการทดลองนี้ และสุดท้ายขอขอบคุณคุณดวงดาว
 สุขจิตต์ ที่มีส่วนช่วยเขียนและจัดทำรายงานฉบับนี้ด้วยดี

**สถาบันวิทยบริการ
จุฬาลงกรณ์มหาวิทยาลัย**

ชื่อโครงการวิจัย : การพัฒนาระบบการออกซิเดชันโดยโอนสำหรับการบำบัดน้ำเสีย
ชื่อหัวหน้าโครงการ : รศ.ดร. สุเมธ ชราเดช

บทคัดย่อ

โอนเป็นสารออกซิเดนท์รุนแรงที่สามารถออกซิได้สารอินทรีย์ที่อยู่และป้องไม่ได้โดยจลินทรีย์ วัตถุประสงค์ของงานวิจัยนี้เพื่อประยุกต์เหล็กออกไซด์เป็นตัวเร่งปฏิกิริยาในการเพิ่มประสิทธิภาพระบบโอนออกซิเดชัน น้ำเสียที่ใช้ในการทดลองนี้เป็นน้ำเสียในงานสุขา(น้ำากสา) ซึ่งถูกเจือจาก 20 เท่าก่อนใช้ คอลัมน์โอนมีขนาด 1.5 ลิตร เหล็กออกไซด์ถูกเตรียมบนผิวเม็ดอลูมินาซีมีขนาดเส้นผ่าศูนย์กลาง 10.3 มม และมีพื้นที่ผิวจำเพาะ $5.5 \text{ m}^2/\text{g}$ เหล็กออกไซด์ที่ใช้เป็นเฟอริกออกไซด์และมีปริมาณ 0.0713% จากผลการทดลองทั้งมีและไม่มีตัวเร่งปฏิกิริยาเหล็กออกไซด์ พบร่วงการเพิ่มทั้งเวลาเก็บกักและอัตราการไหลของโอนมีผลให้ประสิทธิภาพทั้งการกำจัดซีโอดีและสีเพิ่มสูงขึ้น เมื่อคอลัมน์โอนบรรจุด้วยเม็ดอลูมินา ประสิทธิภาพทั้งการกำจัดซีโอดีและสีเพิ่มสูงขึ้นอย่างเด่นชัด ทั้งนี้เนื่องจากพื้นที่ปฏิกิริยาเพิ่มสูงขึ้นและระยะเวลาที่โอนอยู่ในคอลัมน์ยาวนานขึ้น เมื่อใช้เหล็กออกไซด์เป็นตัวเร่งปฏิกิริยา ระบบโอนมีประสิทธิภาพสูงสุด เพราะไนโตรออกซิลฟีแรดดิคัลท์ถูกสร้างโดยตัวเร่งปฏิกิริยา มีความว่องไวปฏิกิริยามากกว่าไม่เลกุลโอน

สถาบันวิทยบริการ
จุฬาลงกรณ์มหาวิทยาลัย

Project Title : Development of Ozone Oxidation Process for Wastewater Treatment

Name of Project Leader : Assoc.Prof. Dr. Sumaeth Chavadej

Abstract

Ozone is a strong oxidant which can oxidize both biodegradable and nonbiodegradable organics. The objective of this study was to apply iron oxide as a catalyst to enhance the ozone oxidation process. The wastewater used in this study was distillery waste which was diluted 20 times before use. An ozone column had 1.5 l in volume. Iron oxide catalyst was prepared on alumina balls having 10.3 mm in diameter and $5.5 \text{ m}^2/\text{g}$ in specific surface area. The iron oxide was in the form of ferric oxide and its loading was 0.0713 %. From the experimental results of both with and without iron oxide catalyst , increases in either hydraulic retention time and ozone flowrate resulted in increasing the treatment efficiencies of both COD and colour removals. When the ozone column was packed with alumina balls, significant increases in the COD and colour reduction efficiencies were obtained since the surface area reacted and the residence time of ozone were increased. Under the presence of iron oxide as a catalyst, the ozone system gave the highest efficiencies in COD and colour removals because the hydroxyl free radical generated from the catalyst is more reactive than ozone molecule itself.

สารบัญเรื่อง

	หน้า
กิตติกรรมประกาศ	I
บทคัดย่อภาษาไทย	II
บทคัดย่อภาษาอังกฤษ	III
สารบัญเรื่อง	IV
สารบัญตาราง	V
สารบัญรูป	VI

บทที่

1. บทนำ.....	1
2. ความรู้พื้นฐานเกี่ยวกับโคลอไซน์และงานวิจัยที่เกี่ยวข้อง.....	3
2.1 การผลิตโคลอไซน์.....	3
2.2 ปฏิกริยาสลายตัวของโคลอไซน์ในน้ำเสีย.....	4
2.3 ปฏิกริยาระหว่างสารประกอบอนทรีฟิล์กับโคลอไซน์.....	6
2.4 การประยุกต์ใช้โคลอไซน์	8
2.5 งานวิจัยที่เกี่ยวข้อง.....	13
3. วิธีการทดลอง	16
3.1 อุปกรณ์การทดลอง.....	16
3.1.1 เครื่องผลิตโคลอไซน์ (Ozone Generator)	16
3.1.2 เครื่องวิเคราะห์โคลอไซน์ (Ozone Measuring Device)	19
3.1.3 เครื่องปฏิกรณ์เคมีคอลัมน์แก้ว (Ozone Reactor)	19
3.1.4 เครื่องทำลายโคลอไซน์ (Ozone Destructer)	19
3.2 การเตรียมตัวเงินปฏิกริยา	19
3.4 วิธีการทดลอง	20
3.5 การวิเคราะห์น้ำเสีย.....	21
3.4.1 การวัดค่าเบอร์เช็นต์การกำจัดสี	21

สารบัญเรื่อง (ต่อ)

3.4.2 การวิเคราะห์ค่า COD.....	21
3.4.3 การวิเคราะห์ปริมาณสารประกอบ carcinon (TOC)	22
4. ผลการทดลองและวิจารณ์	23
4.1 น้ำากาส่า.....	23
4.2 ประสิทธิภาพระบบโอลูชันไม่มีวัสดุบรรจุ... ..	24
4.2.1 ระยะเวลาระบบโอลูชันเข้าสู่สภาพวงที่	24
4.2.2 ผลของกำลังไฟฟ้าของเครื่องกำเนิดโอลูชัน	25
4.2.3 ผลของอัตราการไนล็อกโอลูชัน.....	26
4.2.4 ผลของอัตราการไนล์น้ำากาส่า.....	27
4.2.5 ผลของเวลาเก็บกักน้ำากาส่า.....	29
4.3 ประสิทธิภาพระบบโอลูชันเมื่อมีวัสดุบรรจุ.....	29
4.4 ประสิทธิภาพระบบโอลูชันมีวัสดุบรรจุเคลือบด้วยตัวเร่งปฏิกิริยา...31	31
4.5 เปรียบเทียบประสิทธิภาพระบบโอลูชันมีและไม่มีตัวเร่งปฏิกิริยา...34	34
4.5.1 ประสิทธิภาพการกำจัดสารอินทรีย์.....	34
4.5.2 ประสิทธิภาพการกำจัดสี	35
5. สรุปผลการทดลองและข้อเสนอแนะ	37
เอกสารอ้างอิง	38
ภาคผนวก.....	40

**ผลการทดลองและการ
วิเคราะห์ตัวอย่างต้นน้ำ**

สารบัญตาราง

	หน้า
ตารางที่	
2.1 เปรียบเทียบความสามารถในการออกแบบซีดีซีกับสารออกแบบเดนท์ต่าง ๆ	6
2.2 เวลาในการออกแบบซีดีซีสารอินทรีย์ต่าง ๆ ที่ประสิทธิภาพการกำจัด 50 % โดยใช้ คลอรีนและเปอร์เมงกานेट.....	12
2.3 เปรียบเทียบค่าความเป็นกรดด่างเมื่อใช้โซโนร่วมกับปูนขาวในการตกตะกอน โลหะหนักต่าง ๆ	13
4.1 แสดงลักษณะสมบัติของน้ำจากสำนักงานสุขาภิบาลในประเทศไทย.....	24
4.2 ลักษณะสมบัติเม็ดละลูมีนาและตัวเร่งปฏิกิริยาเหล็กออกไซด์.....	32

**สถาบันวิทยบริการ
จุฬาลงกรณ์มหาวิทยาลัย**

สารบัญรูป

รูปที่	หน้า
2.1 รูปแบบเครื่องผลิตโอลิโน่นสามารถไฟฟ้าแรงสูง.....	3
2.2 ปฏิกริยาการเกิดโอลิโน่นภายใต้สนามไฟฟ้า	4
2.3 ปฏิกริยาการแตกตัวโอลิโน่นในน้ำ	5
2.4 ปฏิกริยาสลายสารฟีนอลโดยโอลิโน่น.....	10
2.5 ปฏิกริยาเคมีโอลิโน่นออกซิไดซ์สารแม่พลาสติก	11
3.1 แผนผังอุปกรณ์การทดลอง.....	17
3.2 คอลัมน์โอลิโน่นที่ใช้ในการทดลอง.....	18
4.1 ประสิทธิภาพการนำบัดของระบบโอลิโน่นที่เวลาการทดลองต่าง ๆ เมื่อไม่มีวัสดุ บรรจุในคอลัมน์ อัตราการไหลโอลิโน่น 15 ลิตรต่อชั่วโมง อัตราการไหลน้ำภาคสา 75 มิลลิลิตรต่อนาที กำลังไฟฟ้าของเครื่องกำเนิดโอลิโน่น 572 วัตต์ และ ¹ เวลาเก็บกัก 8 นาที.....	25
4.2 ประสิทธิภาพการนำบัดของระบบโอลิโน่นเมื่อมีวัสดุบรรจุในคอลัมน์ที่อัตราการ ไหลโอลิโน่น 15 ลิตรต่อชั่วโมง เวลาเก็บกัก 8 นาที และที่กำลังไฟฟ้าต่าง ๆ	26
4.3 ประสิทธิภาพการนำบัดของระบบโอลิโน่นเมื่อมีวัสดุบรรจุในคอลัมน์ที่กำลัง ² ไฟฟ้าของเครื่องกำเนิดโอลิโน่น 572 วัตต์ และเวลาเก็บกัก 8 นาที.....	27
4.4 ประสิทธิภาพการนำบัดของระบบโอลิโน่นเมื่อมีวัสดุบรรจุในคอลัมน์ที่อัตราการ ไหลโอลิโน่น 15 ลิตรต่อชั่วโมง และกำลังไฟฟ้าเครื่องกำเนิดโอลิโน่น 572 วัตต์... ..	28
4.5 ประสิทธิภาพการนำบัดที่เวลาเก็บกักต่าง ๆ ของระบบโอลิโน่นที่ไม่มีวัสดุบรรจุ อัตราการไหลโอลิโน่น 15 ลิตรต่อชั่วโมง อัตราการไหลน้ำภาคสา 75 มิลลิลิตรต่อ นาที และกำลังไฟฟ้าเครื่องกำเนิดโอลิโน่น 572 วัตต์.....	29
4.6 ประสิทธิภาพการลดค่าซีไอดีที่เวลาเก็บกักและอัตราการไหลโอลิโน่นต่าง ๆ ของ ระบบโอลิโน่นเมื่อมีการบรรจุเม็ดละลูมินา 500 มิลลิลิตร	30

สารบัญรูป (ต่อ)

4.7 ผลของอัตราการไฟลโฉนและเวลาเก็บกักต่อประสิทธิภาพในการกำจัดสีของระบบโคลโอนเมื่อบรรจุเม็ดละลูมินา 500 มิลลิลิตร	31
4.8 ผลของอัตราการไฟลโฉนและเวลาเก็บกักต่อประสิทธิภาพการลดค่าใช้โอดีของระบบโคลโอน เมื่อบรรจุตัวเร่งปฏิกิริยาเหล็กออกไซด์ Georges ติดบนอะลูมินา	33
4.9 ผลของอัตราการไฟลโฉนและเวลาเก็บกักต่อประสิทธิภาพในการกำจัดสี เมื่อบรรจุตัวเร่งปฏิกิริยาเหล็กออกไซด์ Georges ติดบนอะลูมิ	33
4.10 เปรียบเทียบประสิทธิภาพการลดค่าใช้โอดีของระบบโคลโอนเมื่อมีวัสดุบรรจุมีตัวเร่งปฏิกิริยา มีวัสดุบรรจุไม่มีตัวเร่งปฏิกิริยา และไม่มีวัสดุบรรจุ	35
4.11 เปรียบเทียบประสิทธิภาพการกำจัดสีของระบบโคลโอนเมื่อมีวัสดุบรรจุมีตัวเร่งปฏิกิริยา มีวัสดุบรรจุไม่มีตัวเร่งปฏิกิริยา และไม่มีวัสดุบรรจุ	36

**สถาบันวิทยบริการ
พัฒนาระบบที่ปรึกษาด้วย**

บทที่ 1



บทนำ

ผลกระทบน้ำมีสาเหตุหลักมาจากการระบายน้ำเสียจากโรงงานอุตสาหกรรม ดังนั้นจึงมีความจำเป็นต้องมีการบำบัดน้ำเสียก่อนระบายน้ำทิ้งลงสู่แหล่งรับน้ำธรรมชาติ ระบบบำบัดชีวภาพมักนิยมประยุกต์ใช้ในการบำบัดน้ำเสียอุตสาหกรรมที่มีองค์ประกอบเป็นสารอินทรีย์ ทั้งนี้เนื่องจากมีประสิทธิภาพสูงและมีค่าใช้จ่ายต่ำ แต่อย่างไรก็ตามสารอินทรีย์บางชนิดไม่สามารถถูกย่อยสลายโดยแบคทีเรีย ซึ่งสารอินทรีย์เหล่านี้ก่อให้น้ำเสียมีสี เน่าเสียจาก โรงงานน้ำตาล โรงงานฟอกย้อม โรงงานเยื่อกระดาษ เป็นต้น ซึ่งน้ำเสียเหล่านี้มีสารประกอบอินทรีย์(Organic compounds)อยู่ในปริมาณสูงในรูปของ COD (Chemical Oxygen Demand) และBOD (Biochemical Oxygen Demand) กระบวนการบำบัดน้ำเสียด้วยวิธีทั่ว ๆ ไป ไม่สามารถลดสีและกำจัดสารอินทรีย์ที่มีสูตรไม่เฉพาะตัวหรือมีโครงสร้างซับซ้อนได้ วิธีการหนึ่งที่น่าสนใจคือวิธีการออกซิเดชัน (Chemical Oxidation) ซึ่งตัวออกซิไดร์ (Oxidizing agent) ได้แก่ คลอริน, คลอรินไดออกไซด์, ไอโอดีเจนเปอร์ออกไซด์, โพแทลสเปอร์มเปอร์วิงกามาเต และการฉายรังสีอุลดร้าไวโอลेट ซึ่งสามารถออกซิไดร์สารประกอบที่คงทนและยากต่อการย่อยสลายได้ การเกิดปฏิกิริยาระหว่างคลอรินกับสารอินทรีย์ที่มีอยู่ในน้ำเสียจะเกิดสารเคมีที่อันตราย ดังนั้นการใช้ไอโอดีเจนได้รับความสนใจอย่างมาก ทั้งนี้เนื่องจากที่ไอโอดีเจนเป็นสารออกซิไดร์ที่รุนแรงมาก (Strong oxidizing agent) และไม่เกิดสารอันตรายตกค้าง การประยุกต์ใช้ไอโอดีเจนร่วมกับแสงยูวีหรือไอโอดีเจนเปอร์ออกไซด์ พนวจได้ผลดีในการออกซิไดร์สารอินทรีย์, สารอินทรีย์, สารที่มีพิษ, สารอินทรีย์ที่คงทนและยากแก่การย่อยสลายโดยจุลินทรีย์

ในการวิจัยครั้งนี้ได้นำตัวเร่งปฏิกิริยาเข้ามาประยุกต์ใช้ร่วมกับไอโอดีเจนด้วย เพื่อช่วยเพิ่มประสิทธิภาพในการทำงานของไอโอดีเจน ประโยชน์จากการวิจัยครั้งนี้ สามารถนำไปเป็นแนวทางในการประยุกต์ใช้ไอโอดีเจนในการบำบัดน้ำเสียโรงงานอุตสาหกรรมต่าง ๆ ซึ่งวิธีการนี้ไม่ก่อให้เกิดผลกระทบต่อสิ่งแวดล้อม

วัตถุประสงค์ของงานวิจัยครั้งนี้ เพื่อศึกษาผลของปัจจัยต่าง ๆ ที่มีต่อการกำจัดสารอินทรีย์ที่มีโครงสร้างซับซ้อนในน้ำากาสำโดยใช้ไอโอดีเจน เปรียบเทียบประสิทธิภาพการกำจัดเมื่อมีและไม่มีตัวเร่งปฏิกิริยา รวมถึงหาสภาวะการทำงานที่เหมาะสมเพื่อเป็นพื้นฐานความรู้ในการประยุกต์ใช้บำบัดน้ำเสียต่อไป

อนึ่งในงานวิจัยนี้ได้เลือกเหล็กออกไซด์เป็นตัวเร่งปฏิกิริยา ทั้งนี้เนื่องจากมีค่าใช้จ่ายต่ำกว่าการใช้สารอื่น ๆ เช่น ไฮโดรเจนเปอร์ออกไซด์ นอกจากนี้สารเหล็กไม่ก่อพิษในน้ำเสียที่ผ่านการบำบัดแล้ว



สถาบันวิทยบริการ อุปกรณ์มาตรฐานฯ

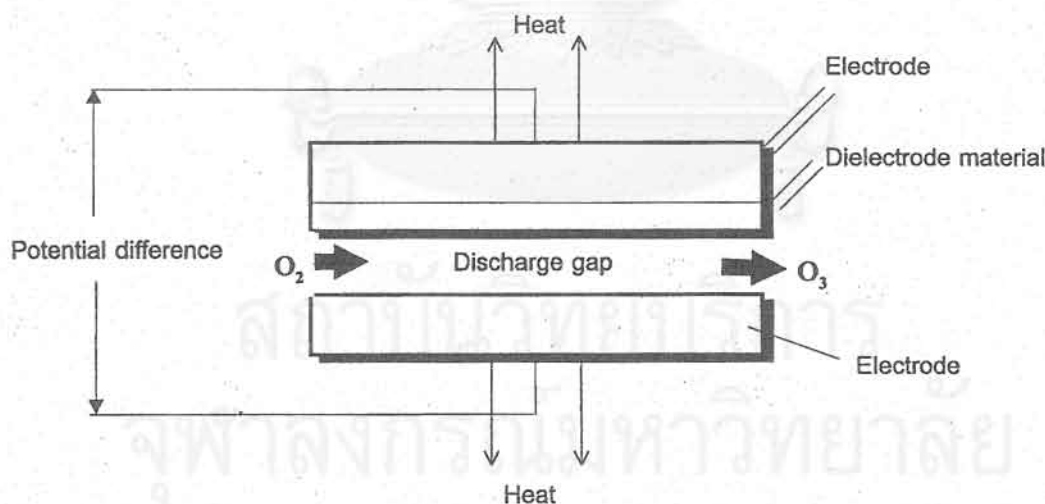
บทที่ 2



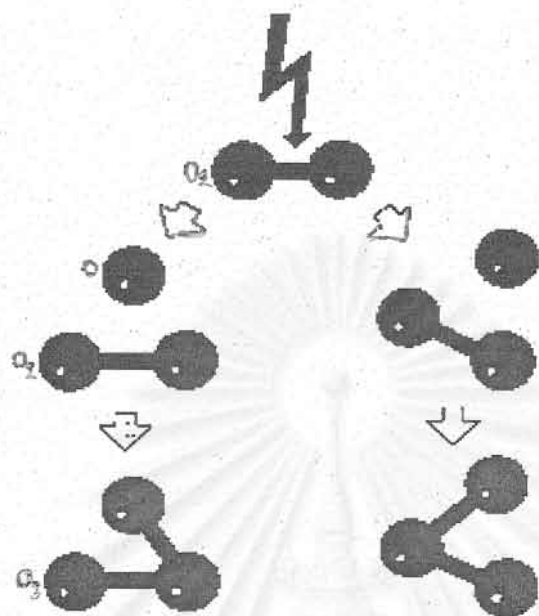
ความรู้พื้นฐานเกี่ยวกับโอลิซอนและงานวิจัยที่เกี่ยวข้อง

2.1 การผลิตโอลิซอน

โอลิซอนในเลกุลประกอบด้วยอะตอมออกซิเจนจำนวน 3 อะตอม โอลิซอนสามารถผลิตได้โดยผ่านอากาศหรือออกซิเจนในสนา�ไฟฟ้าแรงสูง (Dielectric barrier discharge หรือเรียกว่า Silent electrical discharge) รูปที่ 2.1 แสดงหลักการของระบบผลิตโอลิซอน โดยมีเมลกุลออกซิเจนบางส่วนจะถูกแยกออกเป็นอะตอมออกซิเจนโดยการวิ่งชนของประจุลบ (อิเล็กตรอน) จากนั้นอะตอมออกซิเจนจะไปรวมตัวกับไมเมลกุลออกซิเจนเป็นโอลิซอนดังแสดงในรูปที่ 2.2 โดยความต่างศักย์ไฟฟ้าที่ใช้ในการผลิตโอลิซอนอยู่ในช่วง 9-19 KV (Lin และ Yeh, 1993)



รูปที่ 2.1 รูปแบบเครื่องผลิตโอลิซอนสนามไฟฟ้าแรงสูง (Dielectric barrier discharge)
(Lin และ Yeh, 1993)



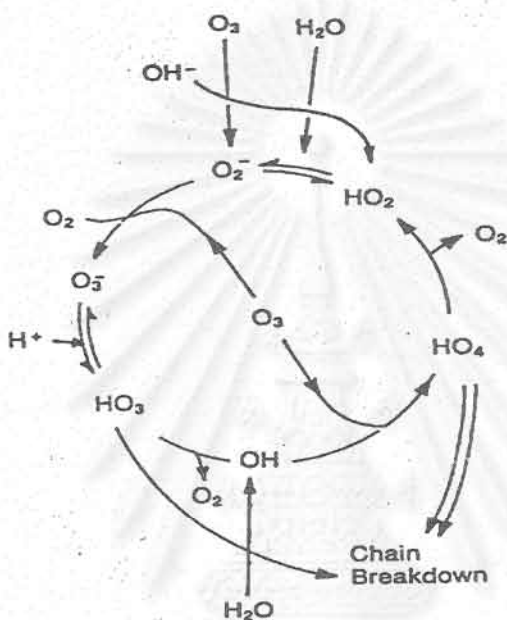
รูปที่ 2.2 ปฏิกิริยาการเกิดโอโซนภายใต้สนามไฟฟ้า

2.2 ปฏิกิริยา слایด์ โอดีโซนในน้ำ

โอดีโซนเป็นกําชีที่ไม่เสถียร โอดีโซนจะ слایด์ เป็นออกซิเจน โดยแตกตัวให้แอดดิคัลต่าง ๆ ได้แก่ Hydroxyl radical (OH^\bullet), HO_3 , HO_4 และ Super oxide (O_2^-) ดังแสดงในรูปที่ 2.3 แอดดิคัลต่าง ๆ ที่เกิดขึ้นจะมีความกว่องไวนามากในการทำปฏิกิริยากับสารต่าง ๆ (Strong Oxidant) ตารางที่ 2.1 แสดงความสามารถของสารโอดีโซนในการออกซิไดซ์สูงกว่าคลอรินถึง 1.5 เท่า และสูงกว่าไฮโดรเจนเปอร์ออกไซด์ (H_2O_2) ถึง 1.3 เท่า

ในน้ำธรรมชาติ กลไกการ слایด์ของโอดีโซนจะขับข้อนกว่าในน้ำบริสุทธิ์ ทั้งนี้ เพราะในน้ำธรรมชาติจะมีสารประกอบต่าง ๆ ซึ่งอาจเป็นตัวก่อ (initiator) เช่น พอร์เมต, HO_2^- , Fe^{2+} , OH^\bullet ตัว promotor เช่น พอร์เมต, และ primary alcohol อาจมีสารยับยั้ง (inhibitor) เช่น คาร์บอนเนต, ไบคาร์บอเนต และ tertiary alcohol ของการ слایด์ของโอดีโซน ครึ่งชีวิตของโอดีโซนจึงค่อนข้างสั้นในสภาพที่เป็นด่าง โดยที่

pH 10 គົງຮົວຂອງໂຄໂຫນໃນນ້ຳບີສຸທີປະມານ 30 ນາທີ ສາປະກອບອິນທີຢີໃນຮຽນໝາດເປັນຕົວທໍາລາຍໂຄໂຫນ (scavenger) ຂຶ້ນສາມາດກຳປັງກິໂຍກກັບ $\cdot\text{OH}$ ດັ່ງນັ້ນຈຶ່ງຍຸດປັງກິໂຍກຂອງ radical chain reaction ທີ່ສັງຜົດໄທເກີດໄຂດຮອກຊືລແຮດດິຄົດ ($\cdot\text{OH}$) ແລະ ສາປະກອບອິນທີຢີໃນຮຽນໝາດຍັງເປັນຕົວ initiator ແລະ promotor ຂອງປັງກິໂຍກການສລາຍຕົວຂອງໂຄໂຫນດ້ວຍ



ຮູບທີ 2.3 ປັງກິໂຍກການແຕກຕົວໂຄໂຫນໃນນ້ຳ (Langlais ແລະ ຄະນະ, 1991)

ປັງກິໂຍກຂອງໂຄໂຫນກັບໄຂໂດຣເຈນ ເປົ້ອງອອກໄຫດ໌ (H_2O_2) ອີ່ຈົວ hydroperoxide ion (OH_2^-) ເປັນຕົວການເກີດເປັນ hydroxyl radical ກ່ອນ ດັ່ງນັ້ນເມື່ອນຳມາປະຍຸກຕິໃຫ້ H_2O_2 ກັບໂຄໂຫນຈະມີປະໂຍນນີ້ໃນການເພີ່ມການເກີດ $\cdot\text{OH}$ ສໍາໜັບໄຂໂດຣເຈນເປົ້ອງອອກໄຫດ໌ເອງຈະເກີດປັງກິໂຍກຫຼັກກັບໂຄໂຫນແຕ່ conjugate base, OH_2^- ຈະວ່ອງໄວໃນການກຳປັງກິໂຍກກັບໂຄໂຫນມາກກວ່າ ຈຶ່ງສັງຜົດໃຫ້ອັດກາຮ່າຍຕົວຂອງໂຄໂຫນໃນສກາວະທີມໄຂໂດຣເຈນເປົ້ອງອອກໄຫດ໌ເພີ່ມເຂົ້າເມື່ອເພີ່ມ pH Staehelin ແລະ Hoigne (1993) ພບວ່າກາຍໄດ້ສກາວະທີເປັນດ່າງທີ່ເປົ້ອປັນກລາງ ຂັດວາກາສລາຍຕົວຂອງໂຄໂຫນໃນສາຮະລາຍທີ່ມີໄຂໂດຣເຈນເປົ້ອງອອກໄຫດ໌ສາມາດແສດງໄດ້ດ້ວຍ

$$\frac{d[\text{O}_3]}{dt} = k [\text{O}_3] [\text{OH}_2^-]$$

ເນື້ອ $k = (5.5 \pm 1.0) \times 10^6 \text{ M}^{-1}\text{s}^{-1}$

ส่วนกลไกการถลายตัวของโคลอชีนโดยใช้แสง มีนักวิทยาศาสตร์ได้ตรวจสอบและพบว่าเกิดเป็นไฮโดรเจนเปอร์ออกไซด์ หลังจากนั้นไฮโดรเจนเปอร์ออกไซด์จะทำปฏิกิริยาต่อไปโดย direct photolysis หรือ conjugate base ซึ่งทั้งสองปฏิกิริยาทำให้เกิดเป็นไฮดรอกซิลแพรดิคัล

ตารางที่ 2.1 เปรียบเทียบความสามารถในการออกซิเดชันกับสารออกซิเดนท์ต่าง ๆ (Lin และ Yeh, 1993)

Compound	Oxidation potential (volts)	Relative power of chlorine
Fluorine	3.06	2.25
Hydroxyl radical ([•] OH)*	2.80	2.05
Atomic oxygen	2.42	1.78
Ozone	2.07	1.52
Hydrogen peroxide	1.77	1.30
Perhydroxyl radical	1.70	1.25
Permanganate	1.67	1.23
Chlorine oxide	1.50	1.10
Hypochlorous acid	1.49	1.10
Chlorine	1.36	1.00
Bromine	1.09	0.80
Hydrogen peroxide	0.87	0.64
Iodine	0.54	0.40
Oxygen	0.40	0.29

* formed when ozone decomposes

2.3 ปฏิกิริยาระหว่างสารประกอบอินทรีย์กับโคลอชีน

ปฏิกิริยาระหว่างโคลอชีนกับสารอินทรีย์หรือที่เรียกว่า โคลอโนไลซิส (Ozonolysis) แบ่งได้เป็น 2 ขั้นตอนคือ

1. Direct attack โดยโมเลกุลของไอโอดีนโดยตรง เกิดโดย electrophilic หรือ dipolar cyclo addition

2. Indirect attack โดย free radicals ที่เกิดจากปฏิกิริยาขั้นที่ 1

ปฏิกิริยาของ free radicals จะเกิดขึ้นหรือไม่ขึ้นอยู่กับโครงสร้างของผลิตภัณฑ์ที่เกิดจากปฏิกิริยาขั้นแรก ซึ่งพบว่าเป็นปฏิกิริยาอันดับที่ 1 เมื่อเทียบกับสารอินทรีย์และไอโอดีน

$$d[M]/dt = k [O_3][M]$$

เมื่อ $[M]$ = ความเข้มข้นสารอินทรีย์ที่ถูกออกซิไดร์

$[O_3]$ = ความเข้มข้นไอโอดีนในน้ำ

k = ค่าคงที่

ไอโอดีนจะเข้าทำปฏิกิริยากับสารอินทรีย์ที่บริเวณพันธะคู่ ($C=C$, $C=C-O-R$, $C=C-X$) หรือ อะตอมที่มีประจุลบ (N , P , O , S และ nucleophilic C) สารอะโนมาติกส์ที่มีหมุน OH , CH_3 , หรือ OCH_3 อยู่ตรงบริเวณขอจะทำปฏิกิริยากับไอโอดีนได้ดี (high reactivity) แต่ถ้ามีหมุน NO_2 , CO_2H หรือ CHO ปฏิกิริยาจะเกิดช้า สามารถแสดงปฏิกิริยาของทั้ง 2 ขั้นได้ดังนี้



or $^{\bullet}OH + \text{Products}$ (initiation step)



or $OH_2 + \text{products}$ (propagation step)

สารที่สามารถเกิดการย่อยสลายด้วยไอโอดีนได้ง่ายจะต้องมีค่า $k > 10^3 \text{ M}^{-1}\text{s}^{-1}$ ในกระบวนการการย่อยสลายโมเลกุลที่เกิดขึ้นมักจะถูกออกซิไดร์ง่าย มีช้า หรือย่อยสลายได้ด้วยกระบวนการทางชีวภาพ ซึ่งจะไม่ทำให้ค่า Total Organic Carbon เปลี่ยนแปลง

ปฏิกิริยาระหว่างไอโอดีนกับสารลดแรงตึงผิวซึ่งพบในผงชาฟอกไม่สามารถถูกออกซิไดร์ได้ง่ายโดยใช้ไอโอดีน อัลคลิเบนเร็นชัลฟ์เนตเป็นสารลดแรงตึงผิวประเภทแอนอิโอนิก เมื่อไอโอดีนเข้าทำปฏิกิริยาจะเข้าทำที่วงอะโนมาติก โดยอัตราทำปฏิกิริยาขึ้นอยู่กับโครงสร้างของหมุน R โดยสารลดแรงตึงผิวประเภทแอนอิโอนิกจะถูกออกซิไดร์ได้เร็วกว่าสารลดแรงตึงผิวที่เป็นกลาง ส่วนสารลดแรงตึงผิวชนิดแคหอโอนิก ยังไม่มีผู้ทำการทดลองไว้ แต่คาดว่าปฏิกิริยาค่อนข้างช้า รวมถึงสารลด

แรงดึงดูดของอนินิก ความต้องการในการทำปฏิกิริยาค่อนข้างช้าด้วย ต้องการจำนวนไม่เล็กของโซโนนมากและต้องใช้เวลาในการสัมผัสนานด้วยเพื่อที่กำจัดสารอนินนี้ (Masten และคณะ, 1994)

ส่วนปฏิกิริยาของโซโนนกับสารประกอบที่ก่อให้เกิดสี สีที่เกิดขึ้นในแหล่งน้ำเกิดเนื่องจากสาร fulvic ถึงแม้ว่ามีอยู่ในปริมาณน้อยก็ยังคงทำให้เกิดสี สารอินทรีย์ตัวนี้จะถูกออกซิไดร์ฟได้บางส่วน และมักอยู่ในรูปของคอนจูเกตของโครงสร้างอะโรมาติกส์ เพราะฉะนั้นจึงมีความต้องการในการทำปฏิกิริยา โดยเริ่มแรกโซโนนจะเข้าทำปฏิกิริยาที่พันธะคู่ของคาร์บอนและในต่อๆ เนื่อง ($C=C$, $N=N$) และวงอะโรมาติกส์ ซึ่งทำให้เกิดเป็นผลิตภัณฑ์ที่ได้จากการแตกของวง โดยความชื้นช้อนของไม่เล็กเป็นเพราะว่าสารอินทรีย์มีเดียตที่เกิดขึ้นหลายตัวซึ่งยังคงมีสีอยู่ จำเป็นต้องใช้ระยะเวลาในการทำปฏิกิริยานานในการที่จะกำจัดสีออกให้หมด จากตัวอย่างการทำจัดสี azoic พบร่วมต้องใช้เวลา 1-2 ชั่วโมง จึงจะทำให้ค่าการดูดกลืนแสงที่ 500-700 นาโนเมตรลดลง 50-80 เปอร์เซ็นต์ (Masten และคณะ, 1994)

สำหรับสารประกอบพาการ์บอไซเดต ด้วยโครงสร้างทางเคมีของสารนี้ที่ไม่มีหมุนเวียนในพีลิก จึงทำให้การเกิดปฏิกิริยาค่อนข้างช้ากับโซโนน ปฏิกิริยาระหว่างโซโนนกับโพลีแซคคาไรด์ เริ่มแรกเกิดขึ้นโดยการแตกของพันธะ glycosidic ตามด้วยการออกซิไดร์ฟหมุนและออกซอลของ free monosaccharides สุดท้ายได้เป็นอัลดีไฮด์และกรดที่เป็นไขย่าง (aliphatic acid) ปฏิกิริยาเกิดขึ้นช้าทั้งปฏิกิริยาของไม่เล็กของโซโนนเองและปฏิกิริยาของ hydroxyl radicals โดยเฉพาะถ้ามี radical scavengers (Masten และคณะ, 1994)

2.4 การประยุกต์ใช้ประโยชน์โซโนน

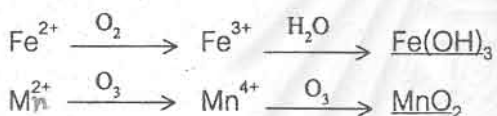
โซโนนถูกนำมาใช้ประโยชน์อย่างกว้างขวางในการทำน้ำดื่มให้ปราศจากจุลทรรศ (Disinfection) นอกจากนี้โซโนนยังสามารถนำมาใช้ประยุกต์ด้านต่าง ๆ คือ

2.4.1 การออกซิไดร์ฟสารอินทรีย์ (Oxidation of Organics) ดังกล่าวมาแล้วโซโนนเป็นสารที่ไม่เสถียร สามารถแตกตัวได้รวดเร็วต่อตัว ๆ ซึ่งมีความต้องการในการทำปฏิกิริยากับสารอินทรีย์ต่าง ๆ การออกซิไดร์ฟสารอินทรีย์โดยโซโนนอาจสมบูรณ์หรือไม่ขึ้นอยู่กับโครงสร้างสารเคมีของสารอินทรีย์นั้น ๆ ตัวอย่างเช่น โซโนนสามารถออกซิไดร์ฟฟีโนอล (Phenol) ได้อย่างสมบูรณ์ดังแสดงในรูปที่ 2.4 โดยสารฟีโนอลจะถูกออกซิไดร์ฟได้คาร์บอนไดออกไซด์และน้ำ อนึ่งสารอินทรีย์ที่มีไม่เล็กใหญ่และมีโครงสร้าง слับซับซ้อนไม่สามารถถูกออกซิไดร์ฟได้อย่างสมบูรณ์โดยโซโนน เช่น

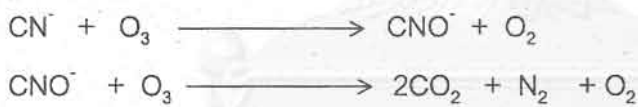
สารเนพทาลีน (Naphthalene) จะถูกออกซิไดซ์โดยโคลโอนได้ Cyclic peroxide, Oxalic acid, Oxomalonic acid, Formic acid, Orthophathadiadehyde acid, Phthalaldehydic acid, Hydrogen peroxide, Phthalic acid, และ 1,4- Naphthaquinone ดังแสดงในรูปที่ 2.5

ตารางที่ 2.2 แสดงประสิทธิภาพการออกซิไดซ์สารอินทรีย์โดยโคลโอนเปรียบเทียบกับคลอรินและเปอร์เมงกานेट โดยแสดงเป็นเวลาที่ใช้ในการออกซิไดซ์สารอินทรีย์ที่ 50 เปอร์เซ็นต์ ซึ่งจะเห็นว่าเวลาที่ใช้ในการออกซิไดซ์เมื่อใช้โคลโอนสั้นกว่าเมื่อใช้คลอรินและเปอร์เมงกานे�ตอย่างมาก

2.4.2 การออกซิไดซ์สารอินทรีย์ (Oxidation of Inorganics) โคลโอนสามารถนำมาประยุกต์ใช้ในการกำจัดเหล็กและแมงกานีสในน้ำ โดยเปลี่ยนวาเลนซีจากสองเป็นสามสำหรับเหล็ก ซึ่งทำให้เหล็กและแมงกานีสตกตะกอนได้ ดังแสดงในสมการเคมี

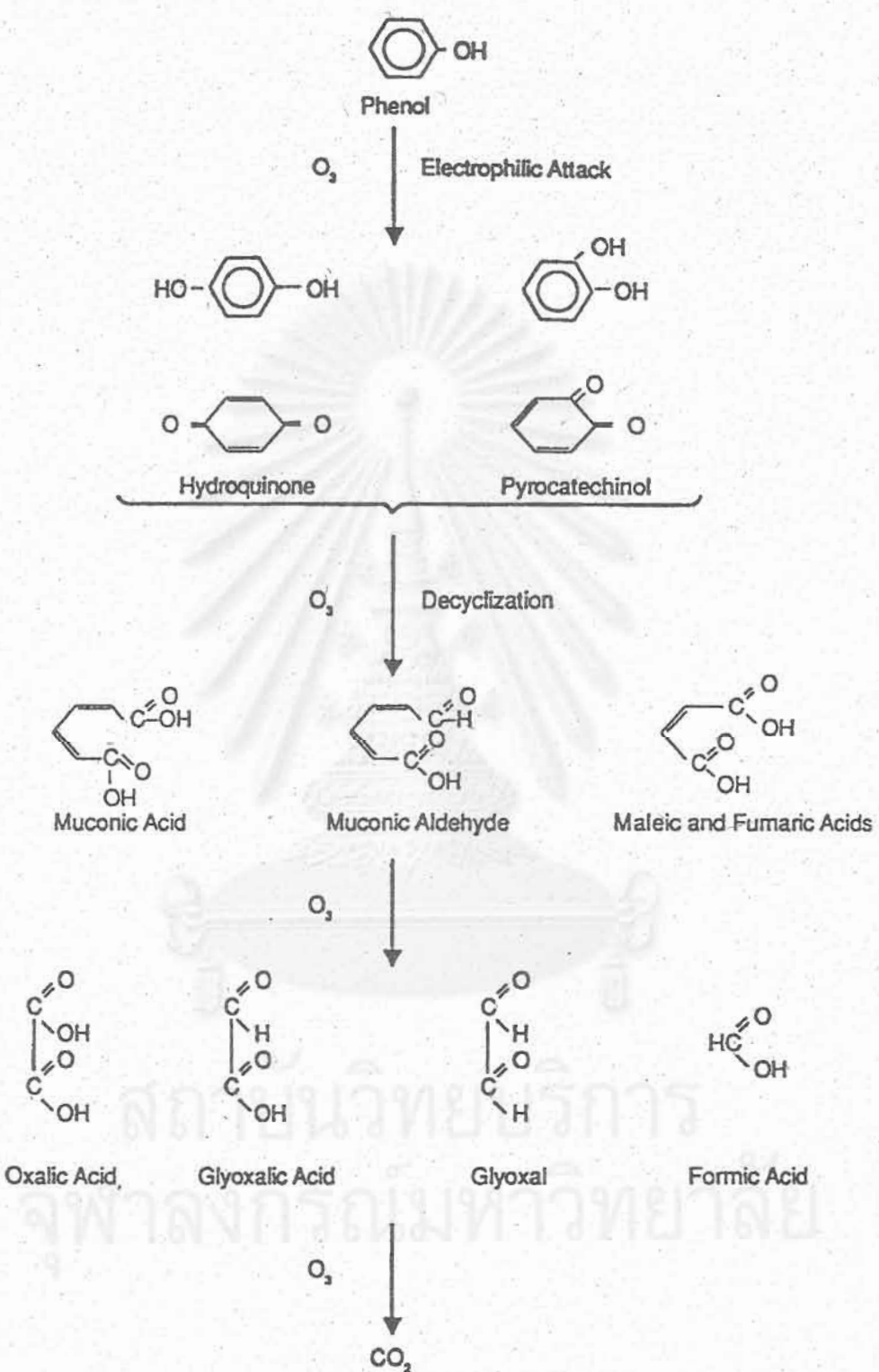


โคลโอนสามารถออกซิไดซ์ไฮยาไนด์เป็นไฮยาเนตจากนั้นไฮยาเนตจะถูกออกซิได้ในต่อเนื่องและคาร์บอนไดออกไซด์ดังสมการเคมี

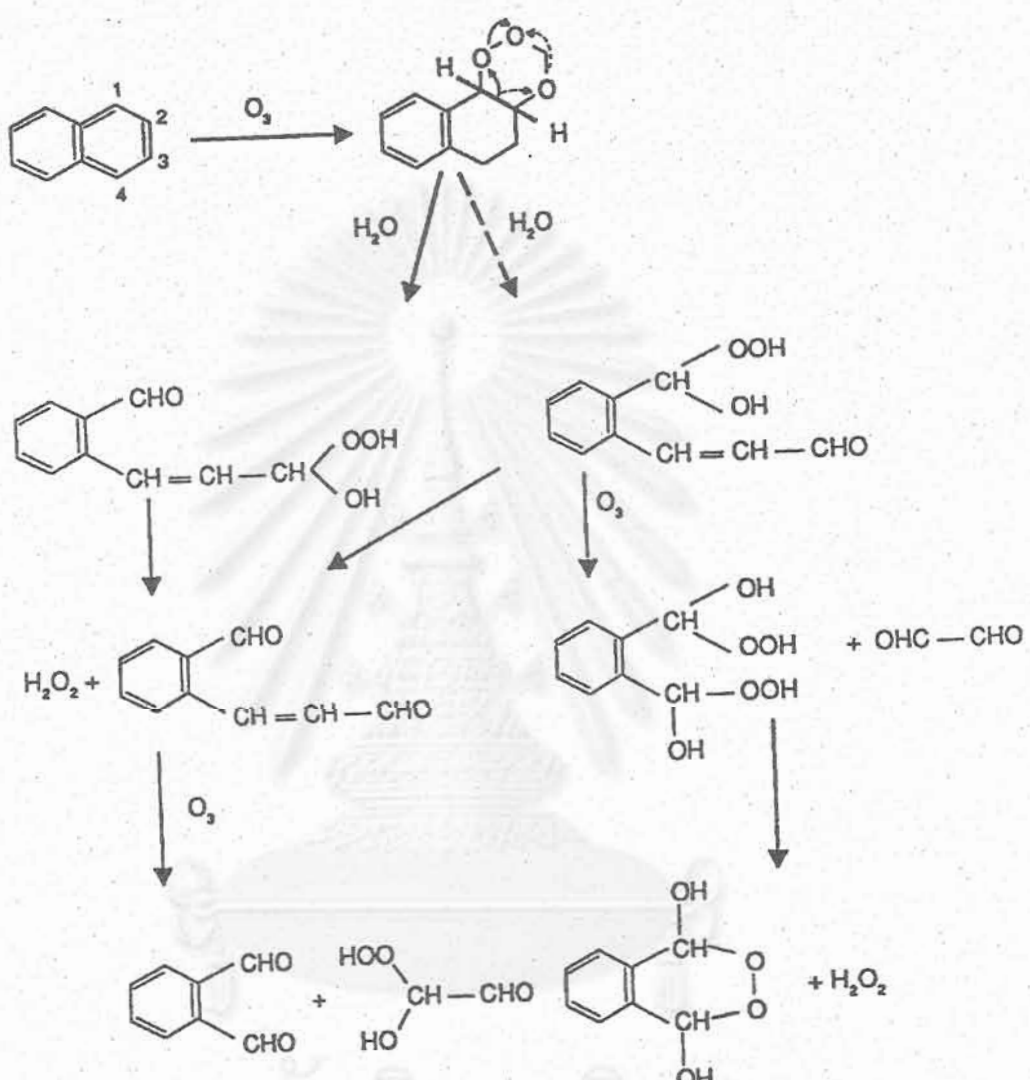


การใช้โคลโอนร่วมกับด่างในการกำจัดโลหะหนักในน้ำเสีย สามารถลดค่าความเป็นกรดด่าง (pH) ที่ต้องการในการตกรตะกอนให้ต่ำลงได้ ซึ่งจะช่วยประหยัดการใช้กรดในการปรับให้เป็นกลางลงได้ ตารางที่ 2.3 แสดงเปรียบเทียบค่าความเป็นกรดด่างลดต่ำลงเมื่อประยุกต์ใช้ร่วมกับปูนขาวในการตกรตะกอนโลหะหนักด่าง ๆ

2.4.3 การควบคุมสาหร่าย (Algae Control) ปัญหาสาหร่ายมักพบในการใช้น้ำแบบหมุน เกี่ยวนในอุตสาหกรรม เช่น น้ำหนล้อเย็น การใช้คลอรินเพื่อทำลายสาหร่ายหรือยับยั้งการเจริญเติบโต สาหร่ายพบว่าใช้ไม่ได้ผล ทั้งนี้เนื่องจากสาหร่ายมีการปูบตัวคุ้มเคยกับคลอริน การใช้โคลโอนจะได้ผลดีกว่า ทั้งนี้เนื่องจากโคลโอนเป็นสารออกซิเดนท์ที่รุนแรงกว่าคลอริน (Lin และ Yeh, 1993)



รูปที่ 2.4 ปฏิกิริยาสลายสารฟินอลโดยไอโซน (Langlais และคณะ, 1991)



รูปที่ 2.5 ปฏิกิริยาเคมีโอโซนออกซิไดซ์สาร Naphthalene (Langlais และคณะ, 1991)

ตารางที่ 2.2 เวลาในการออกชีไดซ์สารอินทรีย์ต่าง ๆ ที่ประสิทธิภาพการกำจัด 50 เปอร์เซ็นต์ โดยใช้ไอโซน, คลอริน, และเปอร์เมกานาเต (Lin และ Yeh, 1993)

Compound	Chlorine	Permanganate	Ozone
Acetophenone	26 d	43 d	25 min
Benzaldehyde	>3.2 d	36 min	28 min
Benzothiazole	8.2 min	>5.8 d	22 min
1,2-Bis (2-chloroethoxy) ethane	> 20 d	67 d	50 min
Bis (2-chloroethyl) ether	> 20 d	15 d	21 min
Borneol	1.4 d	7 d	53 min
Camphor	> 3.2 d	> 5.8 d	>12 min
p-Dichlorobenzene	> 4.2 d	> 22 d	N/A
p-Nitrophenol	2.1 h	1.1 d	2.0 min
Methyl-m-toluuate	> 20 d	22 d	5.5 min
p-Tolunitrile	> 20 d	28 d	6.4 min
Diacetone-L-sorbose	100 d	> 14 d	2.8 min
Diacetone-L-xylose	> 15 d	> 14 d	2.3 h
Toluene	N/A	N/A	2.8 min
Ethylbenzene	N/A	N/A	2.8 min
1,2,3 - Trimethylbenzene	N/A	N/A	1.9 min

2.4.4 การกำจัดสี (Colour Removal) สารอินทรีย์ที่ก่อให้เกิดสี สามารถใช้ไอโซนออกชีไดซ์ สารอินทรีย์เหล่านี้ ซึ่งจะทำให้สีของน้ำเสียลดต่ำลงโดยไม่เลกฤทธิ์ ไอโซนจะทำปฏิกิริยาโดยตรงกับสารอินทรีย์ที่ก่อให้เกิดสี ประสิทธิภาพการกำจัดอาจเพิ่มสูงขึ้นได้ โดยการประยุกต์ใช้ร่วมกับ “ไฮโดรเจนเปอร์ออกไซด์”

ตารางที่ 2.3 เปรียบเทียบค่าความเป็นกรดด่างเมื่อใช้โอโซนร่วมกับปูนขาวในการตกรตะกอนโลหะหนักต่าง ๆ (Lin และ Yeh, 1993)

Metal	pH	
	Lime	Lime and Ozonation
Alumina	-	7.0
Cadmium	10.0	10.0
Chromium	9.0	7.0
Cobalt	11.0	9.0
Copper	9.0	7.0
Iron	4.0	4.0
Lead	-	5.1
Manganese	9.0	6.1
Nickel	11.0	10.0
Silver	11.0	10.0
Zinc	10.0	9.0

2.5 งานวิจัยที่เกี่ยวข้อง

Nebel และคณะ (1974) ได้ทดลองนำโอโซนมาบำบัดน้ำเสียที่ผ่านการบำบัดขั้นสองแล้ว (Secondary Effluents) จากโรงงานฟอกย้อมกระดาษ พบร่วมสามารถกำจัดสีในน้ำเสียได้ และยังลดค่า COD, BOD และค่าความชุ่นลงได้

Sozanska (1991) นำโอโซนมาใช้ในการบำบัดน้ำจากโรงงานบำบัดน้ำเสียทางชีวภาพ ซึ่งมาจากโรงงานผลิตกระดาษ พบร่วมน้ำเสียที่ได้รับการบำบัดมาแล้วด้วย Alum หรือ Lime Coagulant และนำมาบำบัดอีกครั้งด้วยโอโซน จะช่วยกำจัดสีออกจากรากน้ำเสียได้ดีกว่าการใช้โอโซนเพียงอย่างเดียว และยังลดค่า COD ลงถึง 50 เปอร์เซ็นต์

Kearney และคณะ (1987) ได้ทดลองนำโอโซนมาใช้ร่วมกับแสงอุลตราไวโอเลตบำบัดน้ำเสียที่ปนเปื้อนสารเคมีพวงสารชัดวารพีช (Herbicide Atrazine) สารนี้ไม่สามารถถูกย่อยสลายด้วยกระบวนการทางชีวภาพ พบร่วมวิธีการดังกล่าวสามารถลดความเข้มข้นของ Atrazine ลงจาก 10 มิลลิกรัม/ลิตร เหลือ 1 มิลลิกรัม/ลิตร ในเวลา 30 นาที ส่วน Dugue และคณะ (1990) ได้ใช้

ไอโอนร่วมกับไฮโดรเจนเปอร์ออกไซด์ (H_2O_2) สามารถกำจัด Atrazine ได้ถึง 91 เปอร์เซ็นต์ภายในเวลาเพียง 10 นาที

Hoigne และ Bader (1993) ได้ศึกษาพบว่าปฏิกิริยาโดยตรงระหว่างสาร Chlorinated alkenes กับไอโอน ที่ค่า pH สูงจะมีประสิทธิภาพสูงขึ้น เนื่องจากอัตราการเกิด Hydroxyl radical เร็วขึ้น การใช้ไอโอนร่วมกับไฮโดรเจนเปอร์ออกไซด์ และ ไอโอนร่วมกับแสงอุลตраф้าวิโอเลต สามารถกำจัดสาร Chloroalkenes และ Trichloroethylene (TCE) ได้สูงว่าการใช้ไอโอนเพียงอย่างเดียว

Glaze และคณะ (1980) ได้ทำการทดลองพบว่าการใช้แสงอุลตราไวโอเลต(UV)ร่วมกับไอโอนจะช่วยเพิ่มอัตราการออกซิเดชันของสารประกอบอนิทรีย์พาก Polychlorinated biphenyls และ Trihalomethanes

Galbraith และคณะ(1992)ได้เปรียบเทียบอัตราการสลายตัวของ 1,3,5-Trichlorobenzene (TCB) โดยการใช้ไอโอนโดยตรงอย่างเดียว , $O_3/\text{high pH}$, O_3/H_2O_2 , O_3/UV และ $O_3/H_2O_2/UV$ พบร่วมกับที่ค่า pH 7 อัตราการสลายตัวของ TCB เมื่อใช้ไอโอนอย่างเดียวมากกว่าเมื่อใช้ UV และ H_2O_2 ร่วมด้วยถึง 3 เท่า และในสภาพที่เป็นกรด อัตราการเกิด OH^- ช้า อัตราการสลายตัวของ TCB ก็ช้าด้วย

Paillard และคณะ (1991) ได้รายงานการทดลองกำจัดกรดออกซิลิก (Oxalic acid) โดยใช้ไอโอนร่วมกับไททาเนียมไดออกไซด์ (TiO_2) ซึ่งหน้าที่เป็นตัวเร่งปฏิกิริยา เปรียบเทียบกับระบบไอโอนร่วมกับไฮโดรเจนเปอร์ออกไซด์ ผลการทดลองพบว่า การใช้ไอโอนร่วมกับไททาเนียมไดออกไซด์ให้ประสิทธิภาพการกำจัดสูงสุดโดยวัดในภูมิ TOC สูงถึง 95 % ในขณะที่ระบบไอโอนร่วมกับไฮโดรเจนเปอร์ออกไซด์ และระบบไอโอนอย่างเดียวให้ประสิทธิภาพการลดค่า TOC เท่ากับ 50 % และ 30 % ตามลำดับ

Gulyas และคณะ (1994) ได้ทำการทดลองเปรียบเทียบระบบ UV/TiO₂ และไอโอน ใน การนำน้ำเสียจากกรณีน้ำมันกลับมาใช้ใหม่ โดยน้ำเสียมีค่าซีไอดี 300 mg/l จากการทดลองพบว่า ระบบ UV/TiO₂ สามารถกำจัดซีไอดีได้สูงถึง 70 % ที่เวลา 5 ชั่วโมง ในขณะที่ระบบไอโอนสามารถกำจัดซีไอดีต่ำเพียง 17 % ที่เวลา 47 นาที โดยได้สรุปว่า ระบบ UV/TiO₂ มีประสิทธิภาพสูงกว่าระบบไอโอนในการทดลองนี้ เนื่องจากระบบ UV/TiO₂ ใช้พลังงานสูงกว่าและใช้เวลา จำกัดที่ยาวนานกว่าเมื่อเปรียบเทียบกับระบบไอโอน นอกจากนี้ยังสรุปว่าทั้งสองระบบมีประสิทธิภาพสูงในการกำจัดสารอินทรีย์

Ruppert และ Bauer (1994) ได้ทำการทดลองกำจัดสาร 4-chlorophenol โดยเปรียบเทียบการใช้ UV/O₃, UV/H₂O₂, UV/TiO₂ และ UV/H₂O₂/Fe²⁺ (photo-tenton reaction) จากผลการทดลองสรุปได้ว่า ประสิทธิภาพการกำจัดสาร 4-chlorophenol เรียงตามลำดับดังนี้ UV/H₂O₂/Fe²⁺ > UV/O₃ > UV/H₂O₂ > UV/TiO₂

Olsen และ Barbier (1994) ได้ทำการศึกษาจนพัฒนาข้อการออกซิไดร์ฟาร์อินทีเรียโดยโซโนร่วมกับอัลตราโซนิก (Ultrasonic) โดยนำเสียที่ใช้ในการทดลองนี้มี fulvic acid 10 มก/ล พบร่วงการใช้อัลตราโซนิกสามารถช่วยเพิ่มประสิทธิภาพโซโนรีฟาร์มาน 10 เท่า

✓ Adams และคณะ (1995) ได้ทำการทดลองการกำจัดสีของน้ำเสียย้อมผ้า โดยระบบต่างๆ ได้แก่ โซโนร่ายางเดียว, O₃/H₂O₂ , และ O₃/UV จากผลการทดลองสรุปได้ว่า ระบบโซโนร่ายางเดียวให้ประสิทธิภาพการกำจัดที่สูงสุด การใช้ไฮโดรเจนเปอร์ออกไซด์หรือแย้วร่วมกับโซโนกลับทำให้ประสิทธิภาพการกำจัดลดต่ำลง ทั้งนี้เนื่องจากโซโนสามารถออกซิไดร์ฟาย้อมผ้าได้โดยตรง การเติมไฮโดรเจนเปอร์ออกไซด์หรือแย้วจะทำให้โซโนแตกตัวให้แอดดิคัลต่างๆ (radicals) ที่รองไว้ในการทำปฏิกิริยากับสารอินทรีย์อื่น ๆ จึงทำให้โซโนสูญเสียไปส่วนหนึ่ง โซโนส่วนที่เหลือที่ใช้ออกซิไดร์ฟาย้อมผ้าจึงมีน้อยลง

✓ Preis และคณะ (1995) ได้ทำการทดลองกำจัดสารฟีนอล (phenol) โดยใช้โซโน พบร่วงเมื่อเพิ่มค่าความเป็นกรดต่าง (pH) ทำให้ปริมาณโซโนที่ต้องใช้ออกซิไดร์ฟีนอลลดต่ำลง การประยุกต์ใช้แย้วร่วมกับโซโนพบว่าไม่สามารถเพิ่มประสิทธิภาพการออกซิไดร์ฟาร์ฟีนอล ทั้งนี้เนื่องจากทั้งสารฟีนอลและโซโนคุดกลืนแย้วได้เท่าเทียมกัน จึงทำให้แย้วไม่เหลือเป็นประโยชน์ในการทำให้โซโนแตกตัวเป็น radical ต่างๆ นอกจากนี้ยังได้ทำการทดลองใช้ไฮเทเนียมไดออกไซด์เป็นตัวเร่งปฏิกิริยาร่วมกับโซโนและแย้ว ซึ่งพบว่าไม่สามารถทำให้ประสิทธิภาพการกำจัดสารฟีนอลเพิ่มสูงขึ้น เช่นเดียวกับการประยุกต์ใช้ไฮโดรเจนเปอร์ออกไซด์ร่วมกับโซโนก็ไม่สามารถเพิ่มประสิทธิภาพการกำจัดสารฟีนอล ทั้งนี้เนื่องจากโซโนสามารถออกซิไดร์ฟาร์ฟีนอลโดยตรง การเติมสารไฮโดรเจนเปอร์ออกไซด์หรือแย้วทำให้โซโนแตกตัวให้ free radical ต่างๆ จึงไม่มีความจำเป็นในกรณีโซโนออกซิไดร์ฟาร์ฟีนอล

✓ Schutte และคณะ (1995) ได้ทำการทดลองออกซิไดร์ฟน้ำเสียจากกองขยะ (Landfill leachate) โดยใช้โซโนร่ายางเดียว (O₃) , โซโนกับไฮโดรเจนเปอร์ออกไซด์ (O₃/H₂O₂) และ ไฮโดรเจนเปอร์ออกไซด์ร่วมกับแย้วและเหล็กไอออน (H₂O₂/UV/Fe²⁺) จากผลการทดลองสรุปได้ว่า เมื่อใช้โซโนเพียงอย่างเดียว ประสิทธิภาพการกำจัดซึ่อก็ติดต่ำเพียง 38 % แต่เมื่อประยุกต์ใช้โซโนร่วมกับไฮโดรเจนเปอร์ออกไซด์จะมีประสิทธิภาพการออกซิไดร์ฟสูงสุด

บทที่ 3



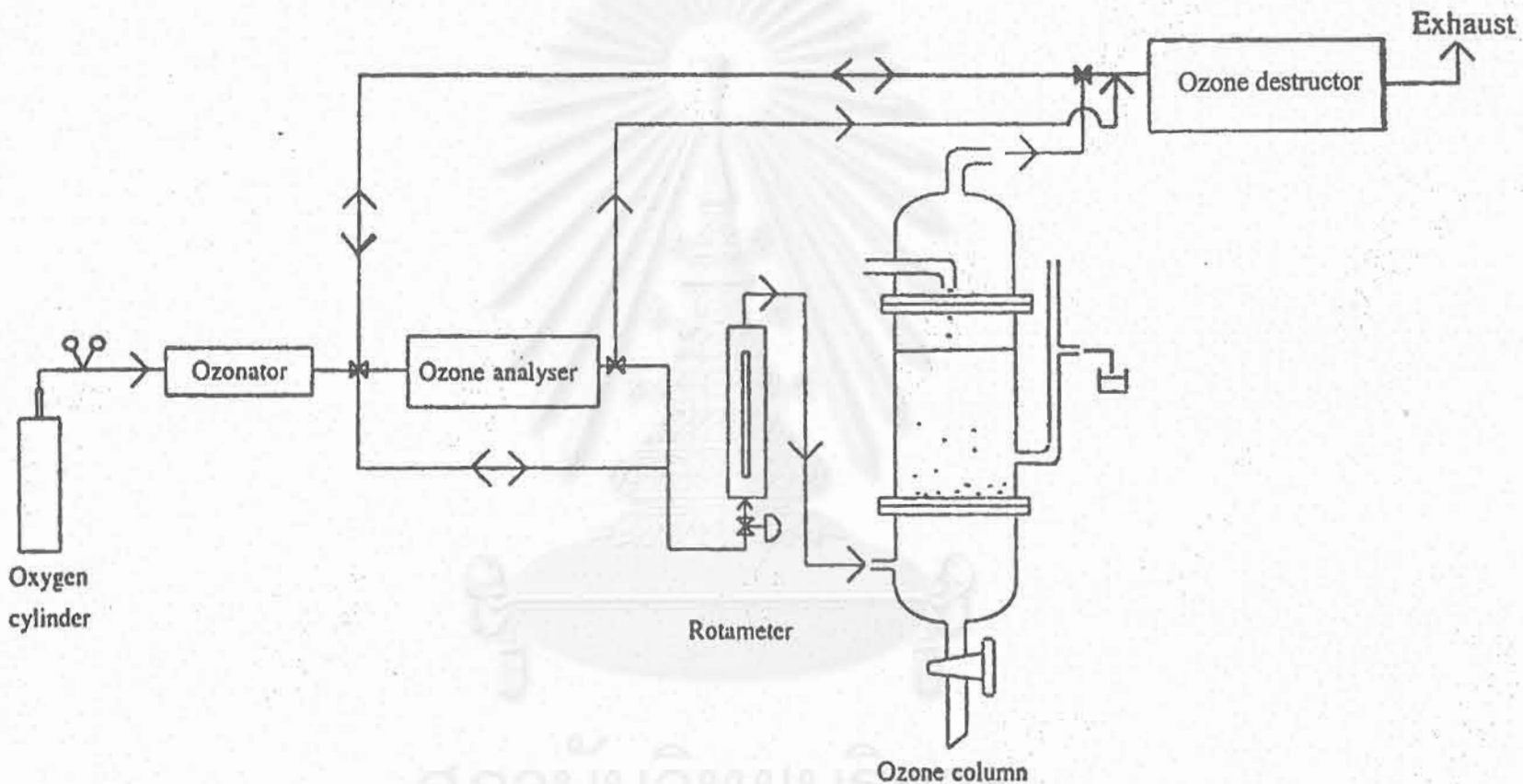
วิธีการทดลอง

3.1 อุปกรณ์การทดลอง

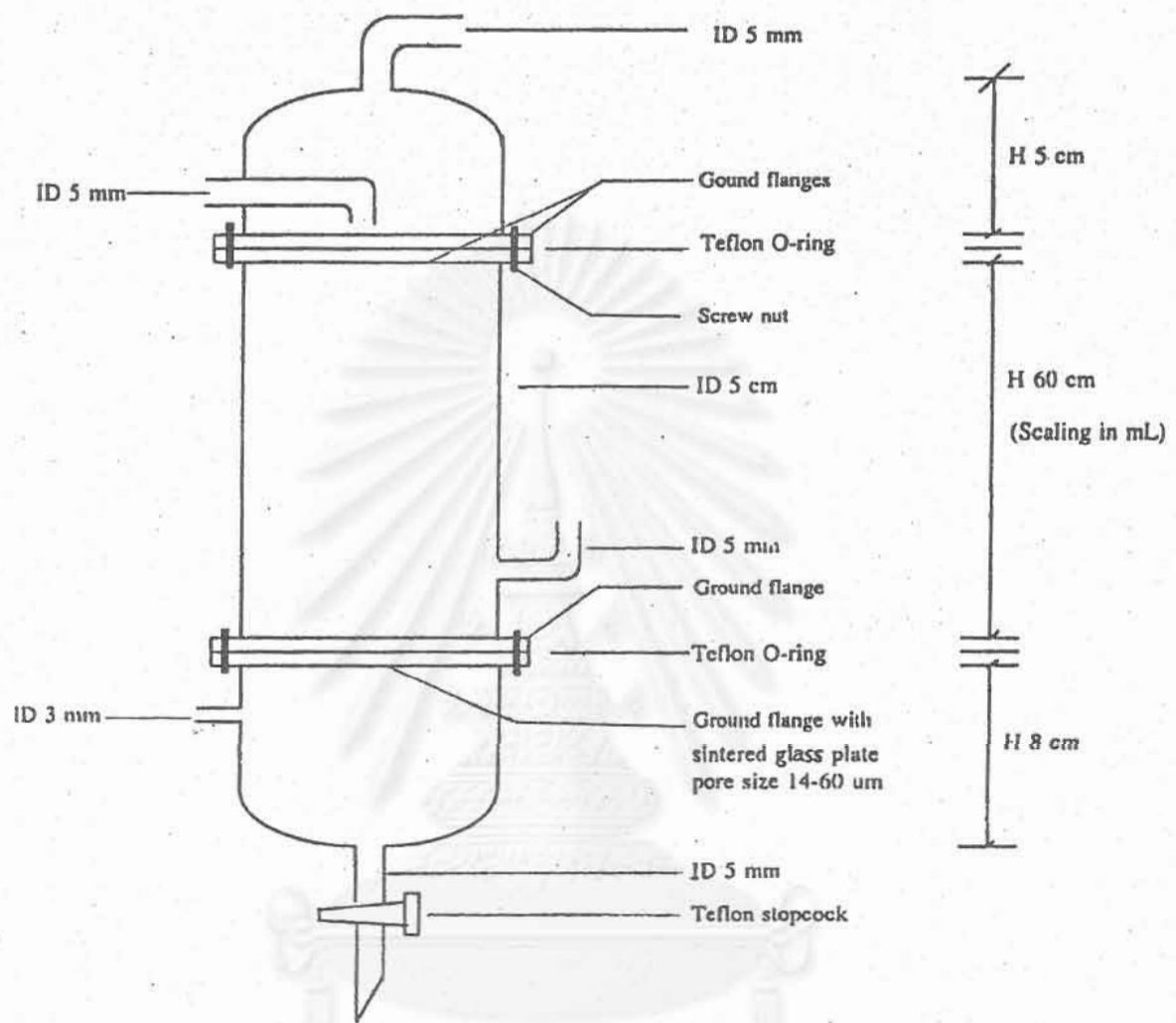
รูปที่ 3.1 แสดงแผนผังอุปกรณ์การทดลอง ส่วนรูปที่ 3.2 แสดงคอลัมน์โอโซนที่ใช้ในการทดลองนี้ โดยอุปกรณ์การทดลองประกอบด้วยส่วนสำคัญ ๆ ได้แก่ เครื่องผลิตโอโซน (Ozone Generator), เครื่องวิเคราะห์โอโซน (Ozone measuring device), คอลัมน์ปฏิกิริยา (Reaction Column) และเครื่องทำสารโอโซน (Ozone destructor) รายละเอียดอุปกรณ์การทดลองนี้จะได้กล่าวต่อไป

3.1.1 เครื่องผลิตโอโซน (Ozone Generator)

โอโซนที่ใช้ในงานวิจัยนี้ผลิตจากเครื่องผลิตโอโซนยี่ห้อ OG20 มีอัตรากำลังการผลิตสูงสุด 20 กรัมโอโซนต่อชั่วโมง ที่กำลังไฟฟ้าสูงสุด 300 หน่วย (1,144 วัตต์) ผลิตโอโซนได้ 100 กรัมของโอโซนต่อลูกบาศก์เมตร และรับอัตราการไหลผ่านของก๊าซได้สูงสุด 200 ลิตรต่อชั่วโมง โดยใช้ก๊าซออกซิเจนในการผลิตโอโซน ก่อนเริ่มการทดลองต้องเช็คการรั่วระหัวงถังก๊าซออกซิเจน เครื่องผลิตโอโซน และเครื่องวิเคราะห์โอโซน เพราะถ้าหากเริ่มผลิตโอโซนแล้ว สายยางช่วงนี้เกิดการรั่ว จะเกิดการรั่วไหลของโอโซนซึ่งเป็นอันตรายมาก โดยเปิดถังก๊าซออกซิเจนให้มีความดันอยู่ในช่วง 0.5 - 1 บาร์ เปิดวาล์วเริ่มต้นให้ก๊าซผ่านจากเครื่อง OG20 ไปสู่เครื่อง OM40 เมื่อน้ำปั๊บของเครื่อง OG20 แสดงค่าความดันประมาณ 0.5 บาร์ ให้ปิดวาล์วทางออกของก๊าซออกซิเจน ให้ก๊าซออกซิเจนอยู่ระหว่างถังก๊าซ เครื่อง OG20 และ เครื่อง OM40 จากนั้นให้สังเกตที่หน้าปัดแสดงความดันของเครื่อง OG20 ว่าคงที่หรือไม่ ถ้าคงที่แสดงว่าไม่มีรอยร้าวที่ชัดได้ ให้ทำการทดลองต่อไปได้ หากความดันไม่คงที่แสดงว่ามีรอยร้าวตามสายจุดใดจุดหนึ่ง จะต้องใช้น้ำสูญชีคดูว่าร้าวที่จุดใด และทำการซ่อมโดยต่อว่า



รูปที่ 3.1 แผนผังอุปกรณ์การทดลอง



หมายเหตุ ปลายหัวค้านบน และค้านข้างของ Column ที่จะต่อกับสามხาง ค้านนอกให้ทำเป็นเกลี้ยงด้าน
แม่นอนของ Condenser เพื่อป้องกันสามხางหลุด

รูปที่ 3.2 คอลัมน์ไอโซชันที่ใช้ในการทดลอง

3.1.2 เครื่องวิเคราะห์ไอโอดีน (Ozone Measuring Device)

เครื่องวิเคราะห์นี้ใช้หลักการของ UV absorption ซึ่งสามารถดูดซับไอโอดีนได้ในช่วง 200-300 นาโนเมตร ดังนั้นอายุการใช้งานของหลอดไฟ UV จึงเป็นส่วนสำคัญ ปกติแล้วหลอดไฟนี้มีอายุการใช้งานประมาณ 20,000 ชั่วโมง เพราะฉะนั้นจะต้องเช็คอายุการใช้งานของหลอดไฟนี้เมื่อใช้งานเครื่องนี้เป็นเวลานาน ก่อนใช้งานเครื่อง OM40 นี้จะต้องปรับตั้งค่า (calibration) เครื่องก่อน โดยเปิดก๊าซออกซิเจนให้เหลา่าน และยังไม่เปิดเครื่อง OG20 ให้ก๊าซออกซิเจนเป็นก๊าซช้าๆ อย่างปรับอัตราการไหลที่เครื่อง OG20 ให้เป็น 20 ลิตรต่อชั่วโมง จากนั้นเปิดเครื่อง OM40 ซึ่งขณะนี้ยังไม่มีการผลิตไอโอดีน ก๊าซที่เข้าเป็นก๊าซออกซิเจนอย่างเดียว จากนั้นปรับปุ่มตั้งค่าที่เครื่อง OM40 ให้อ่านค่าเป็นศูนย์

3.1.3 เครื่องปฏิกรณ์เคมีคลัมน์แก๊ส (Ozone Reactor)

คลัมน์ไอโอดีนที่ใช้ทำการทดลองนี้ทำมาจากห่อแก๊ส มีขนาดความจุ 1.5 ลิตร ขนาดเส้นผ่านศูนย์กลาง 5 เซนติเมตร สูง 80 เซนติเมตร ส่วนล่างของคลัมน์บุดดี้ sintered glass plate ซึ่งมีขนาดรูพื้นที่ 14-60 ไมโครเมตร โดยให้ไอโอดีนผ่านเข้าทางด้านล่างของคลัมน์ออกสู่ด้านบน และน้ำกากสาไนล์ผ่านทางจากด้านบนสู่ด้านล่าง

3.1.4 เครื่องทำลายไอโอดีน (Ozone Destructor)

ไอโอดีนที่เหลือจากปฏิกรณ์จะถูกเปลี่ยนโดยตัวเร่งปฏิกรณ์ในเครื่องทำลายไอโอดีนให้เป็นก๊าซออกซิเจนปล่อยออกสู่บรรยากาศต่อไป

3.2 การเตรียมตัวเร่งปฏิกรณ์

ตัวเร่งปฏิกรณ์ที่ใช้ในการทดลองนี้คือ เหล็กออกไซด์บันผิวอ่อนนิ่ว (Fe_2O_3/Al_2O_3) โดยเม็ดอ่อนนิ่วจัดหาจากบริษัทเซนิค จำกัด มีขนาดเส้นผ่านศูนย์กลางเฉลี่ย 10.3 มิลลิเมตร มีพื้นที่ผิว 5.5 ตารางเมตร/กรัม และมีขนาดรูเล็ก (micropore diameter) 2.03 อะร์มสตรอม การหาพื้นที่ผิว และขนาดรูเล็กโดยใช้เครื่องหาพื้นที่ผิวยี่ห้อ Quantachrome Autosorb-1 โดยใช้หลักการ BET (

Brunauer-Emmett-Teller method) การเตรียมตัวเร่งปฏิกิริยาเหล็กออกไซด์มีขั้นตอนดังต่อไปนี้ เตรียมสารละลายนEOFริกในเทราท ($Fe(NO_3)_3$) ให้มีความเข้มข้น 100 กรัมในน้ำ 300 มิลลิลิตร จากนั้นนำเม็ดอลูมินาจำนวนประมาณ 900 เม็ดแข็งในสารละลายนEOFริกในเทราทประมาณ 15 นาที แล้วนำขึ้นมาบนแห้งที่อุณหภูมิ 105 องศาเซลเซียส หลังจากนั้นนำเม็ดอลูมินานี้ไปแข็งแล้วอบให้แห้งช้าอีกครั้ง 5 ครั้ง จากนั้นนำเม็ดอลูมินาเคลือบด้วยEOFริกในเทราทไปเผาที่อุณหภูมิ 900 องศาเซลเซียส (Calcination) เป็นเวลา 3 ชั่วโมง เพื่อเปลี่ยนEOFริกในเทราทให้เป็นEOFริกออกไซด์ (Fe_2O_3) นำตัวอย่างเม็ดอลูมินาไปหาบปริมาณเหล็กออกไซด์โดยวิธี Atomic Absorption Spectrophotometer ซึ่งพบว่ามีปริมาณเหล็กออกไซด์ในรูปของโลหะเหล็ก 0.713 มิลลิกรัมต่อกรัมน้ำหนักของเม็ดอลูมินา

3.3 วิธีการทดลอง

น้ำเสียที่ใช้ในการทดลองนี้เป็นน้ำากาส้าซึ่งเป็นน้ำากาส้าเสียจากโรงงานผลิตสุราแสงสอง มีลักษณะ มีสีน้ำตาลเข้ม โดยในการทดลองนี้นำน้ำากาส้ามาเจือจางด้วยน้ำที่อัตราส่วน น้ำากาส้า : น้ำ = 1 : 20 โดยปริมาตร โดยสูบน้ำากาส้าเจือจางนี้เข้าสู่คอลัมน์ทางด้านบนด้วยปั๊มสารละลายชนิดรีดสายยาง (Peristaltic Pump) เปิดกําชออกซิเจนให้เข้าสู่เครื่องผลิตโอโซน OG20 และผ่านเข้าเครื่องวิเคราะห์ปริมาณโอโซน OM40 ซึ่งจะต้องมีการเช็คและตั้งค่าเครื่องเหล่านี้ก่อนดังที่กล่าวแล้วข้างต้นในหัวข้อ 3.1.1 และ 3.1.2 ปรับอัตรากระแสไฟฟ้า และอัตราการไหลของกําชที่เครื่อง OG20 และเครื่อง OM40 ให้สอดคล้องกัน จากนั้นโอดโอโซนจากเครื่อง OG20 จะผ่านเข้าเครื่อง OM40 ผ่านเข้าสู่คอลัมน์ทางด้านล่างสวนทางกับการไหลของน้ำากาส้าอย่างต่อเนื่อง หลังจากที่โอโซนออกจากคอลัมน์แล้วจะเข้าสู่เครื่องทำลายโอโซน (Ozone Destructor) เพื่อเปลี่ยนโอโซนที่เหลือให้เป็นกําชออกซิเจน และปล่อยสุบบรรยากาศ ก่อนที่กําชจะผ่านเข้าเครื่อง OM40 เพื่อวิเคราะห์ปริมาณโอโซน จะต้องมีตัวดักน้ำ (water trap) เพื่อดักน้ำที่อาจจะติดไปกับกําช ซึ่งจะทำให้เครื่อง OM40 เสียหายได้ โดยระบบการทดลองนี้สามารถปรับเปลี่ยนวาร์ปเพื่อให้สามารถวัดปริมาณโอโซนก่อนและหลังออกจากคอลัมน์ สามารถทดลองที่ใช้ตัวเร่งปฏิกิริยา โดยการบรรจุตัวเร่งปฏิกิริยา Fe_2O_3/Al_2O_3 ลงในคอลัมน์ปริมาณ 500 มิลลิลิตร สำหรับการทดลองที่ไม่มีตัวเร่งปฏิกิริยา แต่มีตัวดักน้ำที่ใช้อลูมินาบรรจุในคอลัมน์เพียงอย่างเดียว

ทำการทดลองโดยปรับเปลี่ยนตัวแปรต่าง ๆ คือ อัตราการไหลของโอโซน อัตราการไหลของน้ำากาส้า ปริมาณโอโซน กำลังไฟฟ้าที่เครื่องผลิตโอโซน และเวลาในการเก็บกัก (contact

time) รวมถึงการบรรจุตัวเร่งปฏิกิริยาลงใน colloction ด้วย เก็บตัวอย่างน้ำก่อนและหลังการทดลองที่ สภาวะต่าง ๆ เพื่อไปเคราะห์ค่า COD, TOC และค่าการดูดกลืนแสงเพื่อวัดประสิทธิภาพการ กำจัดสีต่อไป

3.4 การวิเคราะห์น้ำเสีย

3.4.1 การวัดค่าเบอร์เซ็นต์การขจัดสี

นำน้ำตัวอย่างที่ต้องการวิเคราะห์มาแยกสารแขวนลอยโดยเครื่องเหวี่ยง(centrifuge) ที่ ความเร็วรอบ 10,000 รอบต่อนาที เป็นเวลา 15 นาที ดูดเอาน้ำส่วนใส 1.0 มิลลิลิตร เจือจาง ด้วยสารละลายอะซิเตทบัฟเฟอร์ 0.1 มิลลิกรัม/มิลลิลิตร วัดความเข้มข้นของสีโดยนำไป อ่านค่าการดูดกลืนแสงด้วยเครื่องスペคโตรโฟโตเมตริกที่ความยาวคลื่น 475 นาโนเมตร

$$\text{เบอร์เซ็นต์การขจัดสี} = \frac{(A - B) \times 100}{A}$$

เมื่อ A = ค่าการดูดกลืนแสงก่อนการทดลอง

B = ค่าการดูดกลืนแสงหลังการทดลอง

3.4.2 การวิเคราะห์ค่าซีโซดี (COD)

การวัดปริมาณความเข้มข้นสารอินทรีย์ในตัวอย่างน้ำเสียใช้วิธีซีโซดี (Chemical Oxygen Demand) ซึ่งค่าซีโซดีที่ทราบได้เป็นค่าที่บ่งบอกถึงปริมาณความเข้มข้นของสารอินทรีย์ทั้งที่ ย่อยสลายได้และไม่ได้โดยแบคทีเรีย การวิเคราะห์โดยการรีฟลักซ์ด้วยโพแทสเซียมไดโครเมต ทั้งนี้ เพราะสารนี้เป็นตัวอกรชีไดร์ที่กว้างตัวอ่อน ๆ ทำให้บริสุทธิ์ได้ง่าย และมีอำนาจในการออกซิไดร์ทสูง

รีฟลักซ์ตัวอย่างน้ำเสียด้วยโพแทสเซียมไดโครเมต 0.25 มิลลิกรัม/มิลลิลิตร แล้วกรดซัลฟูริกเข้มข้น เป็น เวลา 2 ชั่วโมง ปริมาณไดโครเมตบางส่วนจะถูกใช้ไปในการออกซิไดร์ทสารอินทรีย์ และจะมีปริมาณ ส่วนที่เหลือหลังจากทำปฏิกิริยา ซึ่งถ้านำไปปั่นเตรากับเฟอร์รัสแอมโนเนียมชัลเฟต 0.1 มิลลิกรัม/มิลลิลิตร ใช้เฟอร์อินเป็นอินดิเคเตอร์ จะทำให้ทราบถึงปริมาณของไดโครเมตส่วนที่เหลือ เมื่อหักออกจาก ปริมาณที่ใส่ไปทั้งหมด (ทราบโดยการตีเตรากับเฟอร์รัสแอมโนเนียมชัลเฟต) จะทราบ ปริมาณไดโครเมตส่วนที่ถูกใช้ออกซิไดร์ทสารอินทรีย์ในตัวอย่างน้ำ ซึ่งจะเท่ากับปริมาณออกซิเจน ก๊

จะทราบค่า COD ของตัวอย่างได้ อีกวิธีที่ทำได้โดยง่ายคือนำน้ำตัวอย่างที่ได้จากการฟลักช์ไปวัดค่า COD ด้วยเครื่อง DR/2000 ที่ความยาวคลื่น 600 นาโนเมตร โปรแกรม 440 ในการทดลองนี้ได้ใช้วัดค่าการดูดกลืนแสง ทั้งนี้เนื่องจากเป็นวิธีการที่รวดเร็วและใช้สารเคมีน้อยกว่าการไถเทราที่มาก นอกจานนค่าที่ได้ยังมีความถูกต้องทัดเทียมกับแบบไถเทรา

3.4.3 การวิเคราะห์ปริมาณสารอินทรีย์คาร์บอน (TOC)

การวัดปริมาณสารอินทรีย์คาร์บอน(Total Organic Carbon) เป็นอีกวิธีหนึ่งที่ใช้วัดปริมาณความเข้มข้นสารอินทรีย์ในตัวอย่างน้ำ โดยวัดในรูปธาตุคาร์บอน โดยนำน้ำตัวอย่างผ่านเข้าไปในคอลัมน์ซึ่งถูกทำให้ร้อนเพื่อเผาไหม้ สารอินทรีย์จะถูกออกซิไดซ์ภายใต้บรรยายกาศออกซิเจน รังสีอุลดตรaviolet และตัวออกซิเดนท์ เพื่อที่จะเปลี่ยนสารประกอบอินทรีย์คาร์บอนไปเป็นคาร์บอนไดออกไซด์ คาร์บอนไดออกไซด์ที่เกิดขึ้นจะถูกวัดความเข้มข้น เครื่องมือวิเคราะห์ในการทดลองนี้คือ Shimadsu รุ่น TOC-5000A

บทที่ 4

ผลการทดลองและวิจารณ์

การทดลองในงานวิจัยนี้แบ่งได้เป็น 3 ช่วงการทดลองได้แก่ การทดลองแรกเป็นการหาประสิทธิภาพการนำบดของระบบโคลนโดยไม่มีการบรรจุตัวกลางในคอลัมน์ ส่วนการทดลองที่สองมีการบรรจุตัวกลางแต่ไม่มีตัวเร่งปฏิกิริยา และการทดลองที่สามมีการบรรจุตัวกลางที่มีตัวเร่งปฏิกิริยา ข้อมูลการทดลองทั้งหมดได้แสดงในภาคผนวกท้ายรายงานฉบับนี้

4.1 น้ำากาส่า

น้ำากาส่า (slop) เป็นน้ำทึบที่ออกจากหอกลัน โดยวัดถูกต์ที่ใช้ในการหมักสูรา 'ได้แก่ กากน้ำตาล (sugar cane molasses) ในน้ำากาส่าพบว่ามีปริมาณความเข้มข้นสูงทั้งสารอนิทรี และสารอนินทรี นอกจากนี้ยังมีสีน้ำตาลเข้ม ซึ่งเกิดจากสาร caramel สารนี้เกิดจากปฏิกิริยา polymerization ในกระบวนการผลิตน้ำตาล เป็นสารที่มีน้ำหนักโมเลกุลสูงแต่ไม่ทราบโครงสร้างที่แน่นอน โดยทั่วไปเรียกสารประกอบพวงนี้ว่า brown melanoidin สาร melanoidin จะอยู่ในสภาพคอดดอยด์และมีประจุลบ

สีของน้ำากาส่าเกิดจากสีของกากน้ำตาล ซึ่งเป็นผลผลิตได้จากการกระบวนการผลิตน้ำตาลทราย สารที่ก่อให้เกิดสีได้แก่ カラเมล (caramel) ซึ่งเป็นสารประกอบที่ไม่มีในตอรเจนเป็นองค์ประกอบ เกิดจากน้ำตาลได้รับความร้อนมากเกินไปในระหว่างการผลิตน้ำตาลทราย カラเมลมีสีดำสนิท จำนวนมากใช้ประโยชน์ในการทำเป็นส่วนผสมที่ทำให้เกิดสีในอาหาร เช่น ช็อสปูนรสสูรา และเครื่องดื่มต่าง ๆ เป็นต้น

เมลานอยดิน (melanoidin) เป็นสารประกอบที่ไม่มีในตอรเจนเป็นองค์ประกอบ เกิดจากปฏิกิริยาการเกิดสีน้ำตาล (browning or maillard reaction) ซึ่งเป็นปฏิกิริยาควบแย่นของน้ำตาลชนิดต่าง ๆ กับสารประกอบในตอรเจน เช่น กรดอะมิโน จากการศึกษาโครงสร้างโมเลกุลโดยวิธีอเล็กโทรไลซิสพบว่าเมลานอยดินมีประจุลบ

ลักษณะสมบัติของน้ำากาส่าที่ใช้ในงานวิจัยนี้สรุปได้ในตารางที่ 4.1 ซึ่งจะเห็นว่ามีค่า COD และ BOD สูงมาก นอกจากนี้ยังมีปริมาณแร่ธาตุต่าง ๆ สูงอีกด้วย โดยเฉพาะอย่างยิ่งในแพลตเตอร์เชิงและชั้ลเพ็ค

ตารางที่ 4.1 แสดงลักษณะสมบติของน้ำากจากโรงงานสุราแสงโสม จ. นครปฐม

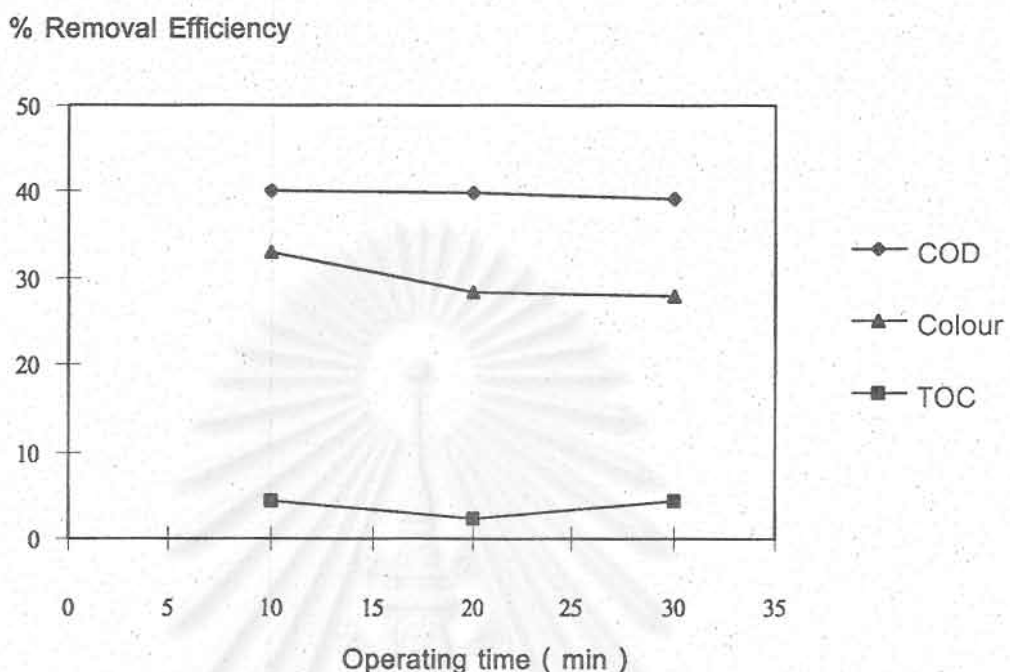
คุณลักษณะของน้ำากษา	ปี 2520	ปี 2529	ปี 2535	ปี 2536
Temperature (C)	95-100	-	95-100	-
pH	4.5	4.65	5.7	4.11
BOD (mg/l)	35,000	38,440	31,600	-
COD (mg/l)	100,000	100,000	106,500	112,500
Total Solid (mg/l)	10,500	9,940	78,300	-
SS (mg/l)	1,500	-	4,000	5,130
DS (mg/l)	-	97,182	38,300	-
Total Nitrogen (mg/l)	1,000	28,300	1,900	1,340
K ⁺ (mg/l)	5,000	5,680	13,330	10,000
P (mg/l)	85	91	271	55.6
SO ₄ ²⁻ (mg/l)	4,440	5,680	2,400	5,525
Na ⁺ (mg/l)	120	-	-	5,000
Ca ⁺ (mg/l)	1,680	1,840	700	-

ที่มา : ฝ่ายเทคนิคบริษัทสุราทิพย์ และ กรมวิทยาศาสตร์

4.2 ประสิทธิภาพระบบโอลูชันเมื่อไม่มีวัสดุบรรจุ

4.2.1 ระยะเวลาระบบโอลูชันเข้าสู่ภาวะคงที่

ในการทดลองนี้เป็นการหาเวลาที่ระบบโอลูชันเข้าสู่ภาวะคงที่ (Steady state) รูปที่ 4.1 แสดงประสิทธิภาพการลดค่าซีโอดี, การกำจัดสี และการลดค่าทีโอดี (TOC) ที่เวลาทดลอง ต่าง ๆ โดยระบบโอลูชันเป็นแบบต่อเนื่อง (Continuous flow) ซึ่งจะเห็นว่าที่เวลาผ่านไป 10, 20 และ 30 นาที ประสิทธิภาพการกำจัดสารอินทรีย์และสีไม่เปลี่ยนแปลง ดังนั้นจึงอาจสรุปได้ว่าระบบโอลูชันเข้าสู่ภาวะคงที่หรือเข้าสู่สมดุลเมื่อเวลาผ่านไป 10 นาที ดังนั้นในการ

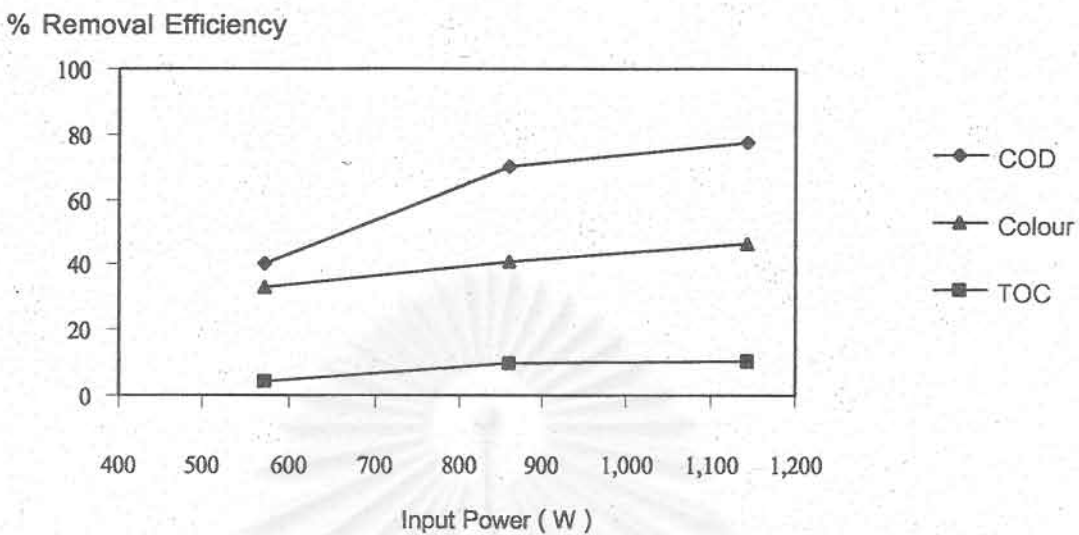


รูปที่ 4.1 ประสิทธิภาพการบำบัดของระบบโอโซนที่เวลาการทดลองต่าง ๆ เมื่อไม่มีวัสดุบรรจุในคอลัมน์ อัตราการไหลโอโซน 15 ลิตรต่อชั่วโมง อัตราการไหลของน้ำมากกว่า 75 มิลลิลิตรต่อนาที กำลังไฟฟ้าของเครื่องกำเนิดโอโซน 572 วัตต์ และเวลาเก็บกัก 8 นาที

ทดลองต่อไปจะใช้เวลาในการทดลองที่ 10 นาที เพื่อเก็บตัวอย่างน้ำที่ออกจากระบบไปวิเคราะห์หาปริมาณสารอินทรีย์และสี

4.2.2 ผลของการกำลังไฟฟ้าของเครื่องกำเนิดโอโซนต่อประสิทธิภาพการบำบัด

เมื่อกำหนดให้ตัวแปรอื่น ๆ คงที่ ได้ทำการปรับเปลี่ยนกำลังไฟฟ้าของเครื่องกำเนิดโอโซนในช่วง 500 - 1200 วัตต์ โดยเมื่อเพิ่มกำลังไฟฟ้าก็จะเป็นการเพิ่มปริมาณโอโซนที่ผลิตได้ ซึ่งการเพิ่มปริมาณโอโซนทำได้ 2 วิธีคือ การเพิ่มกำลังไฟฟ้าของเครื่องกำเนิดโอโซน หรือเพิ่มอัตราการไหลของโอโซน รูปที่ 4.2 แสดงประสิทธิภาพการกำจัดเมื่อเพิ่มกำลังไฟฟ้าสูงขึ้น พบว่าประสิทธิภาพในการลดค่า COD, TOC, และการกำจัดสีเพิ่มขึ้น เมื่อเพิ่มกำลังไฟฟ้าจาก 572 W เป็น 860 W แสดงว่าสารประกอบอินทรีย์ในน้ำากางสาฤกทำลายด้วยโอโซนได้มากขึ้น เพราะว่ามีปริมาณ

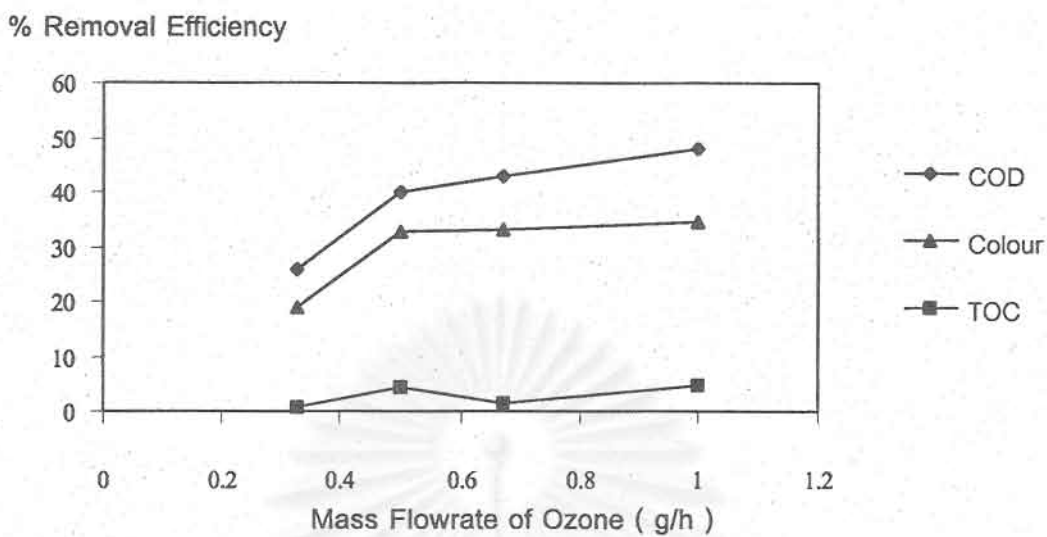


รูปที่ 4.2 ประสิทธิภาพการบำบัดของระบบโอโซน เมื่อไม่มีสัดส่วนรุ่นในคอลัมน์
ที่อัตราการไหลของโอโซน 15 ลิตรต่อชั่วโมง เวลาในการเก็บกัก 8 นาที
และที่กำลังไฟฟ้าต่าง ๆ

โอโซนมากขึ้น โอโซนจึงออกซิไดซ์สารประกอบอินทรีย์ได้มากขึ้น แต่เมื่อเพิ่มกำลังไฟฟ้าจาก 860 W เป็น 1,150 W พบร่วมประสิทธิภาพการกำจัดสารอินทรีย์ในรูปซีโอดีและที่โอซีและประสิทธิภาพการกำจัดสีคงที่ไม่เพิ่มสูงขึ้น ทั้งนี้เนื่องจากสารประกอบอินทรีย์ได้ถูกทำลายไปหมดแล้ว สารอินทรีย์ที่เหลืออยู่ไม่อาจถูกออกซิไดซ์ได้ต่อไป ดังนั้นการเพิ่มโอโซนมากขึ้นจึงไม่สามารถเพิ่มประสิทธิภาพการกำจัดสารอินทรีย์และสี

4.2.3 ผลของการอัตราการไหลของโอโซนต่อประสิทธิภาพการบำบัด

ในการทดลองนี้ได้กำหนดค่าต่าง ๆ คงที่ได้แก่ กำลังไฟฟ้าของเครื่องกำเนิดโอโซนเท่ากับ 572 วัตต์ และเวลาในการเก็บกักน้ำจากการสำรวจ 8 นาที โดยการควบคุมอัตราการไหลน้ำจากการสำรวจที่ 75 มิลลิลิตรต่อนาที จากนั้นทำการตรวจสอบแก๊สออกซิเจนเข้าเครื่องกำเนิดโอโซน จากความเข้มข้นโอโซนที่วัดได้จากเครื่องวัดปริมาตรได้นำมาคำนวนหาค่าอัตราการไหลของโอโซน แล้วนำมาเขียนกราฟแสดงความสัมพันธ์ระหว่างประสิทธิภาพการบำบัดกับอัตราการไหลแก๊ส โอโซนดังแสดงในรูปที่ 4.3 ซึ่งจะเห็นว่าประสิทธิภาพการบำบัดในรูปการลดสารอินทรีย์(ซีโอดี) และสีมีความสอดคล้องกัน ส่วนการลดปริมาณสารอินทรีย์วัดในรูป TOC ไม่เปลี่ยนแปลงมากนักเมื่อมี

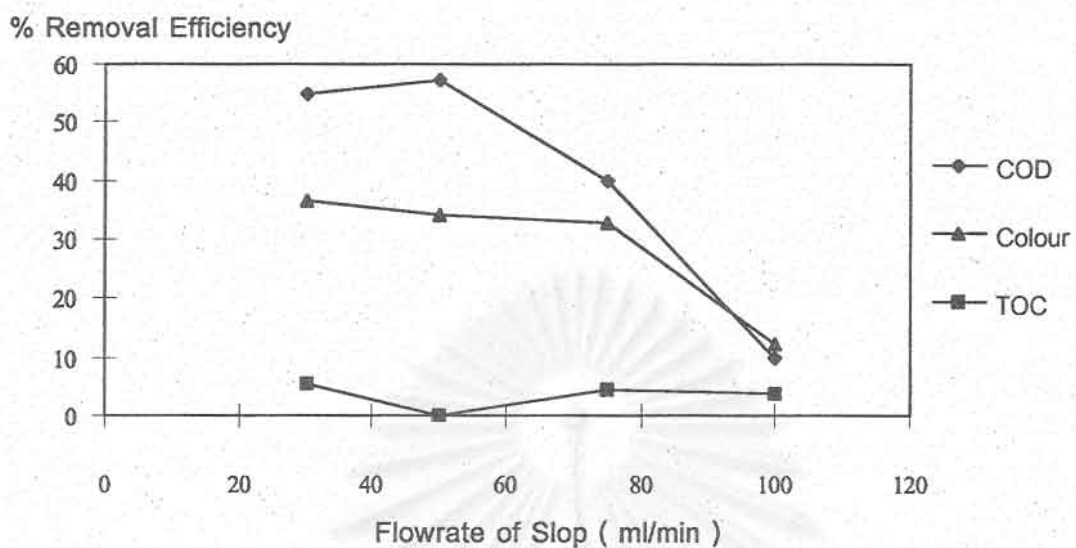


รูปที่ 4.3 ประสิทธิภาพการบำบัดของระบบไอโอดีนที่อัตราการไหลของไอโอดีนต่าง ๆ เมื่อไม่มีวัสดุบรรจุในคอลัมน์ ที่กำลังไฟฟ้าของเครื่องกำเนิดไอโอดีน 572 วัตต์ และเวลาเก็บกัก 8 นาที

การเพิ่มปริมาณไอโอดีน สำหรับกรณีประสิทธิภาพการกำจัดสารอินทรีย์และสี พบร่วมกับเพิ่มขึ้นอย่างมาก เมื่อเพิ่มปริมาณไอโอดีนจาก 0.3 กรัม/ชั่วโมง เป็น 0.5 กรัม/ชั่วโมง แต่ถ้าเพิ่มปริมาณไอโอดีนจาก 0.5 กรัม/ชั่วโมง เป็น 1 กรัม/ชั่วโมง ปรากฏว่าประสิทธิภาพการกำจัดสารอินทรีย์และสีเพิ่มขึ้นเล็กน้อย ซึ่งผลการทดลองนี้สอดคล้องกับการเพิ่มกำลังไฟฟ้าระบบผลิตไอโอดีน ทั้งนี้อาจอธิบายได้ว่า สารอินทรีย์ที่ถูกออกซิไดเร็คด้วยไอโอดีนเปลี่ยนแปลงไป ส่วนสารอินทรีย์ที่เหลือจะถูกออกซิไดเร็คยากและบางส่วนจะไม่ถูกออกซิไดเร็ค จึงทำให้ประสิทธิภาพเพิ่มขึ้นเพียงเล็กน้อยในช่วงหลังจากการเพิ่มปริมาณไอโอดีนเข้าสู่ระบบ

4.2.4 ผลของอัตราการไหลของน้ำากาสสำคัญต่อประสิทธิภาพการบำบัด

รูปที่ 4.4 แสดงประสิทธิภาพการกำจัดสารอินทรีย์และสีที่อัตราการไหลน้ำากาสต่าง ๆ โดยเมื่ออัตราการไหลของน้ำากาสเพิ่มขึ้น ประสิทธิภาพในการลดค่าอินทรีย์ และการกำจัดสีลดลง ทั้งนี้เนื่องจากเวลาในการสัมผัสนานระหว่างไอโอดีนกับสารประกอบอินทรีย์ในน้ำากาสลดลง จึงทำให้การทำปฏิกิริยาลดต่ำลง หรืออาจอธิบายได้ว่าเป็นเพราะว่าเมื่อเพิ่มอัตราการไหลของน้ำากาส



รูปที่ 4.4 ประสิทธิภาพการนำบัดของระบบโคลอไซน์ที่อัตราการไหลน้ำากาส่าต่าง ๆ เมื่อมีมิวส์ดูบระบุในคอลัมน์ ที่อัตราการไหลของโคลอไซน์ 15 ลิตรต่อชั่วโมง และกำลังไฟฟ้าของเครื่องกำเนิดโคลอไซน์ 572 วัตต์

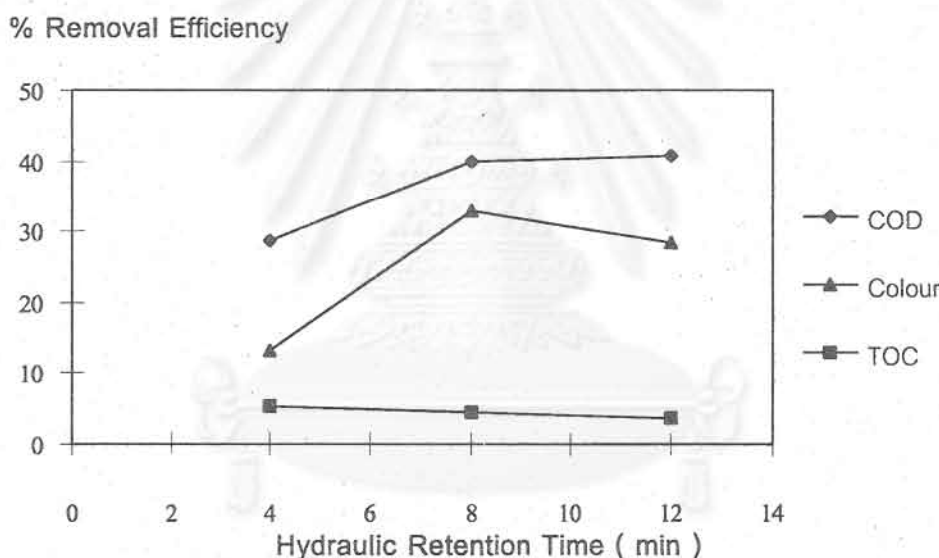
ก็เท่ากับเป็นการเพิ่มปริมาณสารประกอบอินทรีย์ ในขณะที่อัตราการไหลของโคลอไซน์คงที่ ดังนั้นจึงทำให้สารประกอบอินทรีย์อยู่ในน้ำากาสามากขึ้น

อนึ่งเมื่อพิจารณาประสิทธิภาพการกำจัดสารอินทรีย์ในรูปที่ 4.3 (TOC) พบว่าไม่เปลี่ยนแปลง เมื่อเพิ่มอัตราการไหลทั้งโคลอไซน์และน้ำากาส่าดังแสดงในรูปที่ 4.3 และ 4.4 ตามลำดับ ซึ่งสามารถอธิบายได้ว่าสารอินทรีย์ส่วนใหญ่ในน้ำากาส่าถูกออกชีเดชโดยโคลอไซน์ไปเป็นสารอินทรีย์อื่น ๆ ซึ่งยังคงสามารถวิเคราะห์ในรูปที่ 4.3 ได้ แต่ส่วนหนึ่งของสารอินทรีย์ที่ได้จากการออกชีเดชไม่สามารถตรวจจับในรูปที่ 4.3 ได้นั่นเอง

เมื่อเปรียบเทียบผลของการเข้มข้นของโคลอไซน์กับผลของการเข้มข้นของน้ำากาส่า จากรูปที่ 4.3 และ 4.4 เมื่อพิจารณาที่ความเข้มข้นของโคลอไซน์เพิ่มขึ้น 1 เท่า ประสิทธิภาพการลดค่า COD เพิ่มขึ้นน้อยกว่า เมื่อลดความเข้มข้นของน้ำากาส่าลง 1 เท่า แสดงให้เห็นว่า ผลของการความเข้มข้นของสารอินทรีย์ในน้ำากาส่ามีอิทธิพลต่อประสิทธิภาพการกำจัดสารอินทรีย์ในรูป COD มากกว่าผลของการเข้มข้นของโคลอไซน์

4.2.5 ผลของเวลาเก็บกักต่อประสิทธิภาพการบำบัด

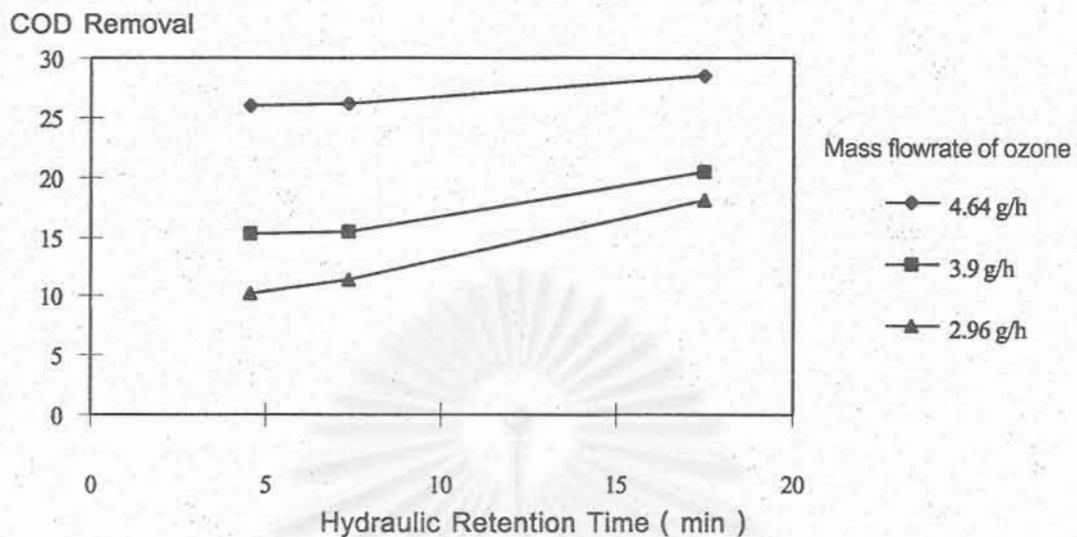
ในการทดลองนี้ได้ควบคุมอัตราการไหลทั้งของโอลูชันและน้ำภาคสำคัญที่ 15 ลิตร/ชั่วโมง และ 75 มิลลิลิตร/นาที ตามลำดับ สวยงามเครื่องกำเนิดโอลูชันที่ 572 วัตต์ การแปรเปลี่ยนเวลาเก็บกัก (Hydraulic Retention time) น้ำภาคสา กะทำโดยแปรเปลี่ยนปริมาตรรูคอลัมน์ ให้ได้เวลาการเก็บกัก 4, 8, และ 12 นาที รูปที่ 4.5 แสดงประสิทธิภาพการกำจัดสารอินทรีย์และสีที่เวลาเก็บกักต่าง ๆ ซึ่งจะเห็นว่าเปอร์เซนต์การลดค่าซีไอดี และการขจัดสี เพิ่มสูงขึ้นอย่างมากเมื่อเวลาเก็บกักสูงขึ้นจาก 4 นาทีเป็น 8 นาที แต่เมื่อเวลาเก็บกักเพิ่มขึ้นจาก 8 นาทีเป็น 12 นาทีกลับไม่เพิ่มขึ้น แต่ประสิทธิภาพการกำจัดสารอินทรีย์ในรูปที่ 4 ซึ่งกลับไม่เปลี่ยนแปลงเลย เมื่อเพิ่มเวลาเก็บกักสูงขึ้น เหตุผลอธิบายเข่นเดียวกับกรณีเพิ่มอัตราการไหลโอลูชันและน้ำภาคสา



รูปที่ 4.5 ประสิทธิภาพการบำบัดที่เวลาเก็บกักต่าง ๆ ของระบบโอลูชันที่ไม่มีวัสดุบรรจุ ในคอลัมน์, อัตราการไหลของโอลูชัน 15 ลิตรต่อชั่วโมง, อัตราการไหลของน้ำภาคสา 75 มิลลิลิตรต่อนาที และกำลังไฟฟ้าของเครื่องกำเนิดโอลูชัน 572 วัตต์

4.3 ประสิทธิภาพของระบบโอลูชันเมื่อมีวัสดุบรรจุ

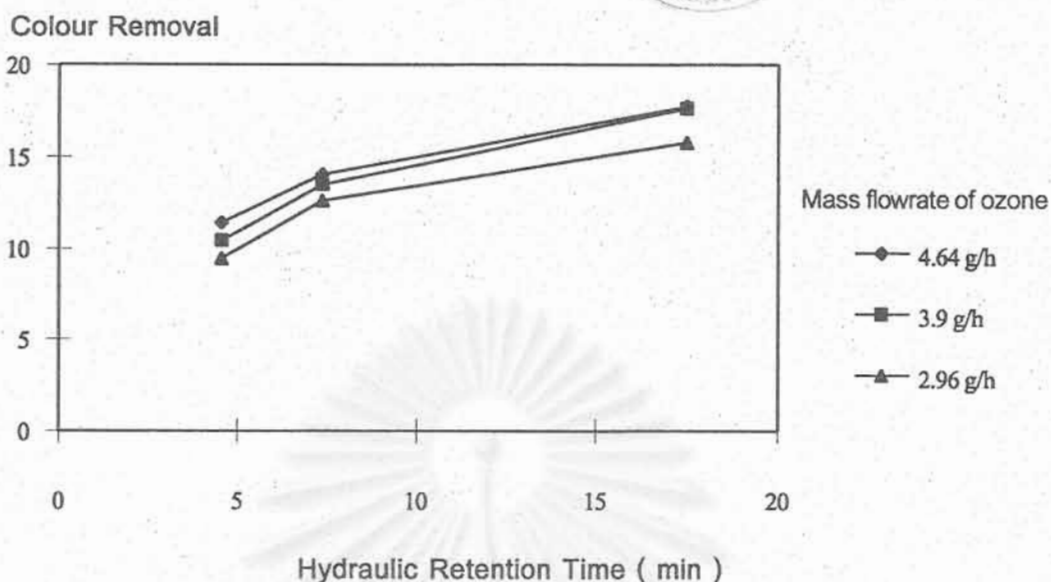
ในการทดลองส่วนนี้จะบรรจุวัสดุ (packing materials) ลงในคอลัมน์ด้วยเพื่อเป็นการเพิ่มพื้นที่ผิวในการทำปฏิกิริยาระหว่างโอลูชันกับสารอินทรีย์ในน้ำภาคสาในคอลัมน์ วัสดุที่ใช้บรรจุ



รูปที่ 4.6 ประสิทธิภาพการลดค่า COD ที่เวลาเก็บกักและอัตราการไนโลโซชันต่าง ๆ ของระบบโอดีซีเมื่อมีการบรรจุเม็ดอะลูมินาปริมาตร 500 มิลลิลิตร

คือเม็ดอะลูมินาซึ่งมีขนาดเฉลี่ย 10.34 มิลลิเมตร มีพื้นที่ผิว 5.5 ตารางเมตร/กรัม รูปที่ 4.6 แสดงประสิทธิภาพการกำจัดสารอินทรีย์ที่เวลาเก็บกักต่าง ๆ และที่อัตราการไนโลโซชันต่าง ๆ จากรูปที่ 4.6 จะเห็นว่าที่อัตราการไนโลโซชันหนึ่ง เมื่อเพิ่มเวลาเก็บกักจาก 4.5 เป็น 7.4 และ 17.5 นาที ประสิทธิภาพการกำจัดสารอินทรีย์ในรูปซีโอดีเพิ่มสูงขึ้น โดยอัตราการเพิ่มขึ้นของประสิทธิภาพเกือบคงที่ ซึ่งสังเกตเห็นได้จากเส้นกราฟเกือบเป็นเส้นตรง เช่นกันเมื่อเพิ่มอัตราการไนโลโซชันสูงขึ้น ประสิทธิภาพการกำจัดซีโอดีเพิ่มสูงขึ้นตามสัดส่วน แต่เมื่อเปรียบเทียบผลพบว่าการเพิ่มอัตราการไนโลโซชันจะมีผลต่อประสิทธิภาพการกำจัดซีโอดีสูงกว่าการเพิ่มเวลาเก็บกัก ทั้งนี้เนื่องจากโอดีซีเป็นสารออกซิเดนท์ที่รุนแรงสามารถทำปฏิกิริยาต่อกับสารอินทรีย์ในน้ำได้อย่างรวดเร็ว ดังนั้นการเพิ่มเวลาเก็บกักจึงมีผลต่อประสิทธิภาพไม่มากนัก เมื่อเปรียบเทียบกับการเพิ่มอัตราการไนโลโซชัน

รูปที่ 4.7 แสดงผลของอัตราการไนโลโซชันและเวลาเก็บกักต่อประสิทธิภาพการกำจัดซี ซึ่งจะเห็นว่าเมื่อเพิ่มอัตราการไนโลโซชันหรือเพิ่มเวลาเก็บกัก ประสิทธิภาพการกำจัดซีเพิ่มสูงขึ้น แต่การเพิ่มอัตราการไนโลโซชันมีผลต่อการเพิ่มประสิทธิภาพการกำจัดซีเพียงเล็กน้อย ในขณะที่การเพิ่มเวลาเก็บกักสามารถทำให้ประสิทธิภาพการกำจัดซีเพิ่มสูงขึ้นมากกว่า ผลการทดลองนี้สามารถสรุปได้ว่า สารอินทรีย์ที่ก่อให้เกิดสีถูกออกซิไดร์ค่อนข้างยาก ดังนั้นการเพิ่มเวลาเก็บกักซึ่งเพื่อกับการเพิ่มเวลาทำปฏิกิริยาจึงสามารถช่วยเพิ่มประสิทธิภาพการกำจัดซีได้มากกว่าในกรณีที่เพิ่มอัตราการไนโลโซชัน



รูปที่ 4.7 ผลของอัตราการไหลโอโซนและเวลาเก็บกักต่อประสิทธิภาพในการกำจัดสีของระบบโอโซนเมื่อบรรจุเม็ดอลูมินาในคอลัมน์ 500 มิลลิเมตร

4.4 ประสิทธิภาพของระบบโอโซนเมื่อมีวัสดุบรรจุเคลือบด้วยตัวเร่งปฏิกิริยา

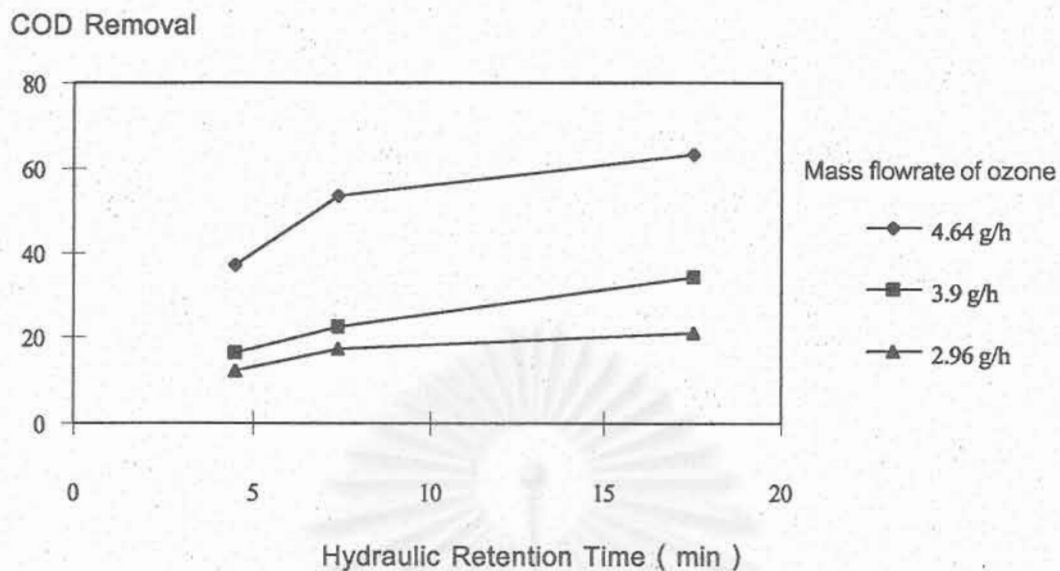
ตัวเร่งปฏิกิริยาที่ใช้ในการทดลองนี้คือเหล็กออกไซด์เกรดติดบันเม็ดอลูมินาบรรจุในคอลัมน์ โดยปริมาตรของเม็ดอลูมินาเท่ากับ 500 มิลลิเมตร ดังได้กล่าวมาแล้วข้างต้นของเม็ดอลูมินา เส้นผ่าศูนย์กลางเฉลี่ย 10.34 มิลลิเมตร ตารางที่ 4.2 แสดงลักษณะสมบัติเม็ดอลูมินาและเหล็กออกไซด์ที่เคลือบบนผิวน้ำเม็ดอลูมินา โดยวิธีเคลือบเหล็กออกไซด์บนผิวน้ำเม็ดอลูมินาได้กล่าวแล้วในบทที่ 3 ซึ่งใช้วิธี Thermal Reduction โดยเปลี่ยนเฟอริกไนเตรท ($\text{Fe}(\text{NO}_3)_3$) ให้เป็น Fe_2O_3 ที่อุณหภูมิ 900°C จากตารางที่ 4.2 แสดงให้เห็นว่าปริมาณเหล็ก (Iron load) เท่ากับ 0.0173 % โดยน้ำหนักต่อน้ำหนักเม็ดอลูมินา เมื่อนำวัสดุที่เคลือบมาวิเคราะห์พบว่ามีปริมาณเหล็ก (Fe content) 45.06 % ซึ่งเมื่อกำนัณเป็น Fe_2O_3 จะได้เท่ากับ 83.7 % ดังนั้นองค์ประกอบที่เหลืออีก 16.3 % น่าจะเป็นน้ำที่รวมตัวกับเหล็กออกไซด์

ตารางที่ 4.2 ลักษณะสมบัติเม็ดอัลูมินาและตัวเร่งปฏิกิริยาเหล็กออกไซด์

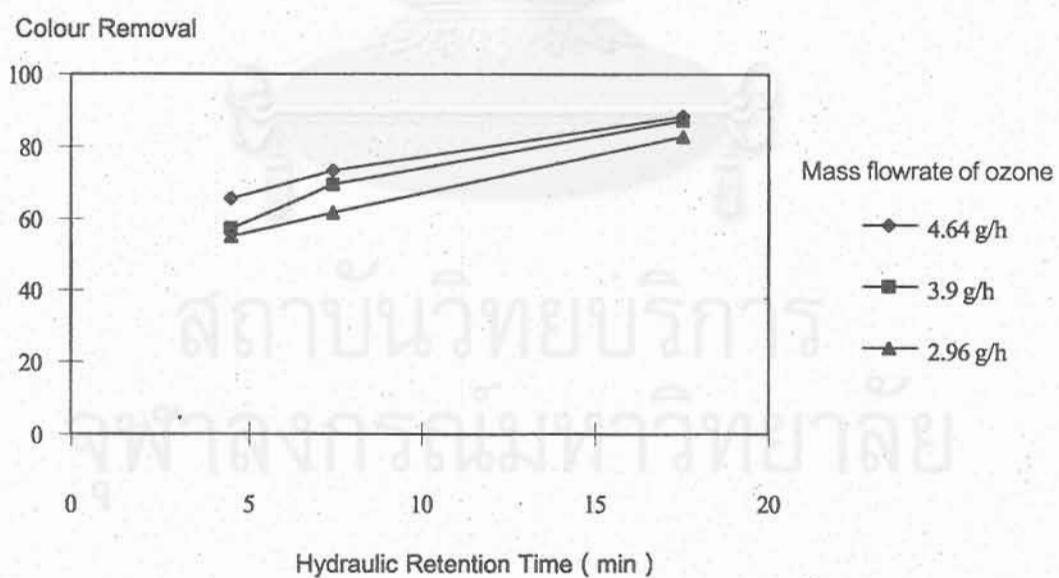
<u>Uncoated alumina balls</u>	
- range of diameter	9.8 - 11.0 nm
- average diameter	10.34 mm
- average pore diameter	2.03 Å
- specific surface area	5.5 m ² /g
- crystal form	α Al ₂ O ₃
<u>Coated alumina balls</u>	
-Fe content (based on dried alumina ball)	0.0713 %
<u>Coating material</u>	
- Fe composition	45.06 %
- Calculated content of Fe ₂ O ₃	83.7 %

รูปที่ 4.8 แสดงประสิทธิภาพการกำจัดสารอินทรีย์ในรูปซีโอดีที่อัตราการไนโลโซนต่าง ๆ และเวลาเก็บกักต่าง ๆ ผลการทดลองนี้มีแนวโน้มคล้ายคลึงกับการทดลองที่บรรยายล้มลงด้วยเม็ดอัลูมินาที่ไม่มีตัวเร่งปฏิกิริยา กล่าวคือประสิทธิภาพการลดซีโอดีเพิ่มสูงขึ้นเมื่อเวลาเก็บกักสูงขึ้นและอัตราการไนโลโซนเพิ่มสูงขึ้น การเพิ่มอัตราการไนโลโซนมีผลต่อประสิทธิภาพการกำจัดซีโอดีสูงกว่าการเพิ่มเวลาเก็บกัก

รูปที่ 4.9 แสดงประสิทธิภาพการกำจัดสีที่เวลาเก็บกักและอัตราไนโลโซนต่าง ๆ เช่นเดียวกับประสิทธิภาพการกำจัดสีเพิ่มสูงขึ้นเมื่อเวลาเก็บกักยาวนานขึ้นและอัตราการไนโลโซนสูงขึ้น โดยการเพิ่มเวลาเก็บกักมีอิทธิพลต่อประสิทธิภาพการกำจัดสีมากกว่าการเพิ่มอัตราไนโลโซน



รูปที่ 4.8 ผลของอัตราการไหลโอดีไซน์และเวลาเก็บกักต่อประสิทธิภาพการลดค่า COD ของระบบโอดีไซน์ เมื่อบรรจุตัวเร่งปฏิกิริยาเหล็กออกไซด์ Georges ติดบนอลูมินา

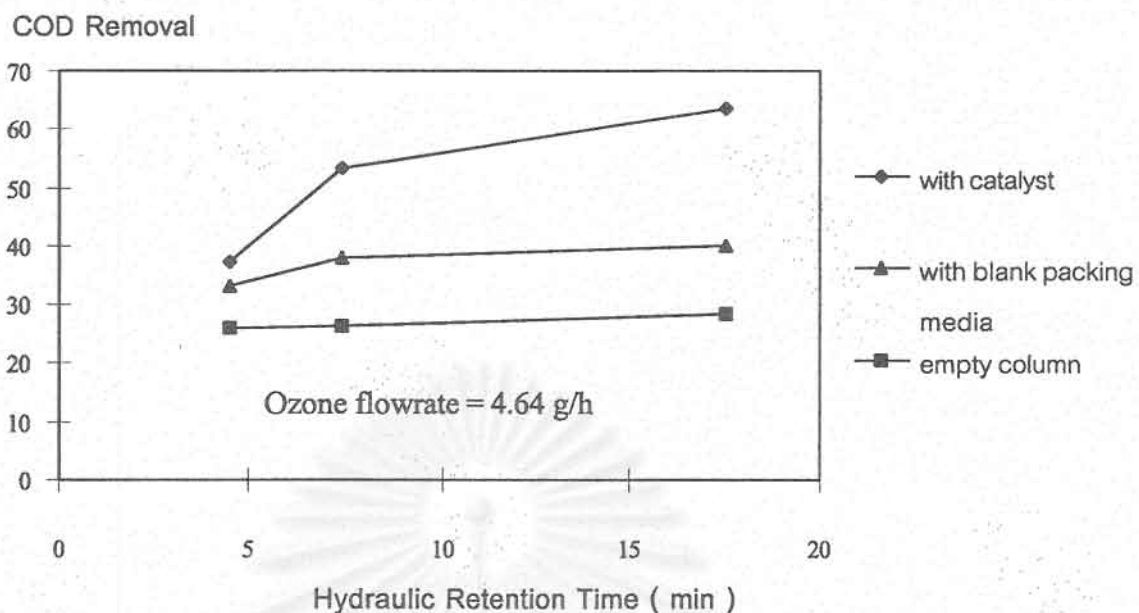


รูปที่ 4.9 ผลของอัตราการไหลของโอดีไซน์และเวลาเก็บกักต่อประสิทธิภาพในการกำจัดสี เมื่อบรรจุตัวเร่งปฏิกิริยาโลหะเหล็ก Georges ติดบนอลูมินา

4.5 เปรียบเทียบประสิทธิภาพของระบบโอโซนมีและไม่มีตัวเร่งปฏิกิริยาเหล็กออกไซด์

4.5.1 ประสิทธิภาพการกำจัดสารอินทรีย์

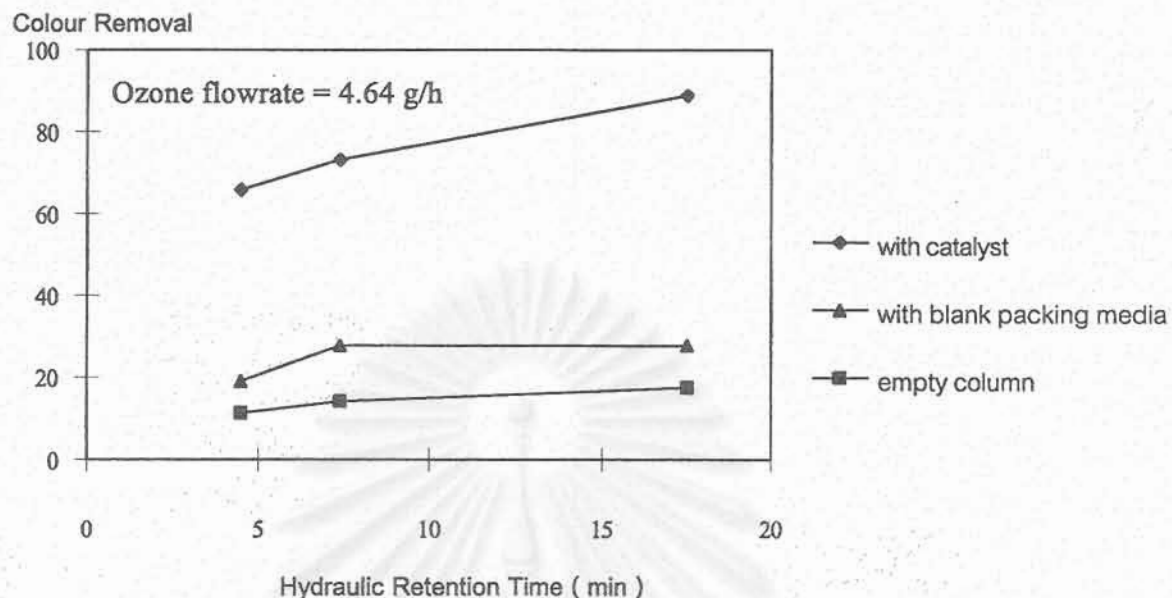
รูปที่ 4.10 แสดงเปรียบเทียบประสิทธิภาพการกำจัดสารอินทรีย์ในรูปชี้อัตราระบบโอโซนที่ไม่มีตัวเร่งปฏิกิริยา ระบบโอโซนที่บรรจุเม็ดอลูมินาอย่างเดียว และระบบโอโซนที่มีตัวเร่งปฏิกิริยาเหล็กออกไซด์เคลือบบนผิวเม็ดอลูมินา ในกรณีแรกระบบโอโซนที่ไม่มีตัวเร่งปฏิกิริยาและไม่มีเม็ดอลูมินา พบว่ามีประสิทธิภาพการกำจัดสารอินทรีย์ต่ำสุด โดยประสิทธิภาพการกำจัดซึ่งได้ไม่เปลี่ยนแปลงเมื่อเวลาเก็บกักเพิ่มสูงขึ้น ในกรณีคอลัมน์โอโซนบรรจุเม็ดอลูมินา พบว่าประสิทธิภาพการกำจัดซึ่งได้เพิ่มสูงขึ้น เมื่อเปรียบเทียบกับกรณีไม่มีเม็ดอลูมินาบรรจุ ทั้งนี้เนื่องจากการมีเม็ดอลูมินาเท่ากับเป็นการเพิ่มพื้นที่ปฏิกิริยาระหว่างโอโซนและสารอินทรีย์ และการมีเม็ดอลูมินาบรรจุในคอลัมน์ช่วยทำให้ฟองกําโอโซนใช้เวลานานขึ้นกว่าจะหลุดออกจากคอลัมน์ ด้วยเหตุผลสองประการดังกล่าวจึงทำให้ประสิทธิภาพการกำจัดสารอินทรีย์เพิ่มสูงขึ้นในกรณีมีเม็ดอลูมินาบรรจุในคอลัมน์ และการเพิ่มประสิทธิภาพการกำจัดซึ่งได้เพิ่มสูงขึ้นเพียงเล็กน้อย เมื่อเพิ่มเวลาเก็บกักสูงขึ้น ในกรณีสุดท้ายที่มีการใช้เหล็กออกไซด์เคลือบบนผิวเม็ดอลูมินาซึ่งบรรจุในคอลัมน์ พบว่าประสิทธิภาพการกำจัดซึ่งได้เพิ่มสูงขึ้นอย่างมากเมื่อเปรียบเทียบกับสองกรณีแรก โดยเฉพาะที่เวลาเก็บกักเพิ่มสูงขึ้น ประสิทธิภาพการกำจัดซึ่งได้ของระบบโอโซนมีเหล็กออกไซด์เป็นตัวเร่งปฏิกิริยาเพิ่มสูงขึ้นมาก โดยที่เวลาเก็บกัก 17.52 นาที ระบบโอโซนที่มีเหล็กออกไซด์เป็นตัวเร่งปฏิกิริยา มีประสิทธิภาพการกำจัดซึ่งได้สูงถึง 63.3 % ในขณะที่ระบบโอโซนที่ไม่มีตัวเร่งปฏิกิริยา มีประสิทธิภาพการกำจัดซึ่งได้ต่ำเพียง 28.5 %



รูปที่ 4.10 เปรียบเทียบประสิทธิภาพการลดค่า COD ของระบบโอโซนเมื่อมีวัสดุบรรจุ มีตัวเร่งปฏิกิริยา, มีวัสดุบรรจุไม่มีตัวเร่งปฏิกิริยา และไม่มีวัสดุบรรจุ

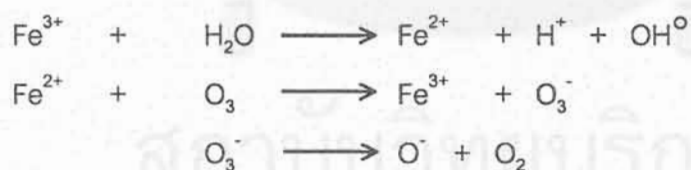
4.5.2 ประสิทธิภาพการทำจัดสี

รูปที่ 4.11 แสดงการเปรียบเทียบประสิทธิภาพการทำจัดสีที่เวลาเก็บกักต่าง ๆ ของระบบ โอโซนไม่มีตัวเร่งปฏิกิริยา ระบบโอโซนที่มีเม็ดอลูมินาบรรจุในคอลัมน์ และระบบโอโซนที่มีเหล็กออกไซด์เคลือบบนผิวเม็ดอลูมินา เช่นเดียวกับประสิทธิภาพการทำจัดสีมีแนวโน้มเพิ่มขึ้นตามประสิทธิภาพการทำจัดสีโดยเดิมได้ล่าวนามาก โดยระบบโอโซนมีเหล็กออกไซด์เป็นตัวเร่งปฏิกิริยาที่เวลาเก็บกัก 17.52 นาที ให้ประสิทธิภาพการทำจัดสีสูงสุดถึง 88.6 % จากการต่อเส้นกราฟ (Extrapolation) อาจประเมินได้ว่าถ้าต้องการทำจัดสี 100 % จะต้องเพิ่มเวลาเก็บกักยาวนานถึง 25 - 30 นาที



รูปที่ 4.11 เปรียบเทียบประสิทธิภาพการกำจัดสีของระบบโอดิโซนแบบมีวัสดุบรรจุมีตัวเร่งปฏิกิริยา, มีวัสดุบรรจุไม่มีตัวเร่งปฏิกิริยา และแบบไม่มีวัสดุบรรจุที่เวลาเก็บกักต่าง ๆ

จากการทดลองดังกล่าวมาแล้ว สรุปได้ว่าเหล็กออกไซด์สามารถช่วยเพิ่มประสิทธิภาพ โอดิโซนในการออกซิไดร์ฟารอินทรีย์อย่างเห็นเด่นชัด เหล็กออกไซด์ทำหน้าที่เป็นตัวเร่งปฏิกิริยา โอดิโซนกับสารอินทรีย์ สามารถอธิบายได้ดังสมการดังต่อไปนี้



โดย Fe^{3+} ถูกเปลี่ยนเป็น Fe^{2+} และ hydroxyl free radical (OH°) ซึ่ง Free radical hydroxyl ที่เกิดขึ้นนี้จะถูกใช้ในการออกซิไดร์ฟารอินทรีย์ได้อย่างมีประสิทธิภาพและสูงกว่าโอดิโซน โดยตรง ดังนั้นการประยุกต์ใช้ระบบโอดิโซนในการกำจัดสารอินทรีย์และสีของน้ำเสีย ควรใช้เหล็กออกไซด์เป็นตัวเร่งปฏิกิริยาควบคู่ในระบบไปด้วย

บทที่ 5

สรุปผลการทดลองและข้อเสนอแนะ

5.1 สรุปผลการทดลอง

ในการทดลองนี้ได้ใช้น้ำจากสาที่เจื้อจาง 20 เท่า โดยระบบโคลอไซนอย่างเดียวไม่มีตัวเร่งปฏิกิริยา พบร่วมกับ ประสิทธิภาพการทำจัดสารอินทรีย์และสีเพิ่มสูงขึ้น เมื่ออัตราการไหลโคลอไซนสูงขึ้นและเวลาเก็บกักยาวนานขึ้น การเพิ่มอัตราไหลโคลอไซนมีผลต่อประสิทธิภาพการทำจัดสารอินทรีย์และสีมากกว่าการเพิ่มเวลาเก็บกัก

เมื่อบรรจุคอลัมน์โคลอไซนด้วยเม็ดอะลูминินา พบร่วมระบบโคลอไซนมีประสิทธิภาพทั้งการทำจัดซีโอดีและสีเพิ่มสูงขึ้น เมื่อเปรียบเทียบกับคอลัมน์โคลอไซน์ที่ไม่มีเม็ดอะลูминินา ทั้งนี้เนื่องจากเม็ดอะลูминินาช่วยเพิ่มพื้นที่ผิวให้สูงขึ้น และทำให้ก๊าซโคลอไซน์มีเวลาเก็บกักยาวนานขึ้น จึงทำให้สารอินทรีย์ถูกออกชีดีได้มากขึ้น

ในกรณีเมื่อมีการใช้เหล็กออกไซด์เป็นตัวเร่งปฏิกิริยา พบร่วมระบบโคลอไซนมีประสิทธิภาพทั้งการทำจัดซีโอดีและสีสูงขึ้นอย่างมาก เมื่อเปรียบเทียบกับการทำจัดซีโอดีโดยไม่มีตัวเร่งปฏิกิริยา ทั้งนี้เนื่องจากเหล็กออกไซด์ทำให้เกิด Hydroxyl free radical ซึ่งมีความว่องไวในการทำปฏิกิริยากับสารอินทรีย์สูงกว่าโคลอไซน์มาก โดยที่เวลาเก็บกัก 17.52 นาที ระบบโคลอไซนมีเหล็กออกไซด์เป็นตัวเร่งปฏิกิริยามีประสิทธิภาพการทำจัดซีโอดี 63.35 % และประสิทธิภาพการทำจัดสี 88.55 % ดังนั้นในการประยุกต์ใช้ระบบโคลอไซน์ความมีเหล็กออกไซด์เป็นตัวเร่งปฏิกิริยาด้วย

5.2 ข้อเสนอแนะ

จากการทดลองในงานวิจัยนี้ ชี้ว่าตัวเร่งปฏิกิริยาต่อระบบโคลอไซน์อย่างมาก ดังนั้นจึงควรมีการศึกษาต่อเนื่องเพื่อนำไปสู่การประยุกต์ใช้งานต่อไป งานวิจัยที่ควรดำเนินการต่อควรพิจารณาสิ่งต่อไปนี้

- ศึกษาตัวเร่งปฏิกิริยานิดอื่นที่น่าจะให้ประสิทธิภาพการทำบันดูสูงขึ้นกว่าหรือเทียบเท่าเหล็กออกไซด์
- ควรศึกษาวิธีระบบโคลอไซน์กับน้ำเสียประเภทอื่น ๆ
- ศึกษาการใช้แสงอุլตราไวโอเลตควบคู่กับระบบโคลอไซน์ที่มีตัวเร่งปฏิกิริยา

เอกสารอ้างอิง

- ✓ 1. Adams, C.D., Fusco, W. and Kanzelmeyer, T.C. (1995), " Ozone, Hydrogen Peroxide/Ozone Treatment of Chromium and Copper - Complex Dyes : Decolorization and Metal Release ", Ozone Science and Engineering, vol.17, p. 149 - 162.
2. Beltran, F.J., Encinar, J.M. and Garcia - Araya, J.F. (1993), " Oxidation by Ozone and Chlorine Dioxide of Two Distillery Wastewater Contaminants : Gallic Acid and Epicatechin ", Water Research, vol. 27, no.6, p. 1023-1032.
- ✓ 3. Evans, Francis, L., (1972), " Ozone in Water and Wastewater Treatment ", Ann Arbor, Mich: Ann Arbor Science. รคทวช
4. Galbraith, M., et al. (1992), " Hazardous and Industrial Wastes ", Proc. 24th Mid-Atlantic Industrial Waste Conference, Morgantown.
- ✓ 5. Glaze, W.H., et al., (1980), " Oxidation of Water Supply Refractory Species by Ozone with Ultraviolet Radiation ", US Environment Protection Agency: Washington D.C., p.80-110.
6. Gulyas, H., Bockelmann, D., Hermmerling, L., Bahnemann, D. and Sekoulov, I. (1994), " Treatment of Recalcitrant Organic Compounds in Oil Reclaiming wastewater by Ozone/Hydrogen Peroxide and UV/Titanium Dioxide ", Water Science Technology, vol.29, no.9, p.129 -132
7. Hoigne, J., and Bader, H., (1983), " Rate constant of the reactions of ozone with organic and inorganic compounds in water ", Water Res., vol. 17, p.173 - 184.
- ✓ 8. Langlais, Bruno, Reckhow, David, A., Brink, and Deboerah, R., (1991), " Ozone in Water Treatment : Application and Engineering ", Chelsea : Lewis.,C.
- ✓ 9. Lin, S.H. and Yeh, K.L., (1993), " Looking To Treat Wastewater ? Try Ozone ", Chemical Engineering, p. 112-116.
- ✓ 10. Masten, Susan, J., Davis, and Simon, H.R. (1994), " The use of ozonation to degrade organic contaminants in wastewater ", Environ. Sci. Technol., vol 28, no.4, p.181A-185A.
11. Nebel, C., Gottschling, R.D., O'Neill, and H. J., (1974) " Ozone Decolorization of Pulp and Paper Secondary Effluents ", Welsbach Ozone Systems, Philadelphia.

12. Olson, T. M. and Barbier, P.F., (1994), " Oxidation Kinetics of Natural Organic Matter by Sonolysis and Ozone ", Water Research, vol.28, no.6, p.1383 - 1391.
13. Paillard, H., Dorel, M. and Bourbogot, M.M., " Prospect Concerning Applications of Catalytic Ozonation in Drinking Water Treatment ", Proc. 10th Ozone World Congress, Monaco, vol. 1 (Intl. Ozone Assoc., European - African Group, 1991) p.261-279.
14. Preis, S., Kamenev, S., Kallas, J. and Munter, R.(1995), " Advanced Oxidation Processes Against Phenolic Compounds in Wastewater ", Ozone Science and Engineering, vol.17, p. 399 - 418.
15. Ruppert, G. and Bauer, R. (1994), " UV-O₃, UV-H₂O₂, UV-TiO₂ and the Photo -Fenton Reaction Comparison of Advanced Processes for Wastewater Treatment ", Chemosphere, vol.28, no.8, p. 1447-1454.
16. Schulte, P., Bayer, A., Kuhn, F., Luy, T. and Volkmer, M. (1995), " H₂O₂/O₃, H₂O₂/UV and H₂O₂/Fe²⁺ Processes for the Oxidation of Hazardous Wastes ", Ozone Science and Engineering, vol. 17, p. 119-134.

ภาคผนวก

ข้อมูลการทดลอง

1. แบบไม่บรรจุวัสดุตัวกลางในคอลัมน์

1.1 เมื่อเปลี่ยน power ของเครื่องกำเนิดไอโซน

อัตราการไหลของไอโซน	15 l hr
อัตราการไหลของน้ำากาส่า	75 ml/min
ปริมาตรรุ่คอลัมน์	600 ml
เวลา	10 min

power (unit)	COD (mg/l)		TOC (ppm)		ค่าการดูดกลืนแสง(A)	
	ก่อน	หลัง	ก่อน	หลัง	ก่อน	หลัง
100	12,264	7,360	3,577	3,418	1.698	1.140
150	12,264	3,680	3,577	3,224	1.698	1.000
200	12,264	2,731	3,577	3,209	1.698	0.912

1.2 เมื่อเปลี่ยนความเข้มข้นของไอโซน (โดยปรับอัตราการไหลของไอโซน)

อัตราการไหลของน้ำากาส่า	75 ml/min
ปริมาตรรุ่คอลัมน์	600 ml
เวลา	10 min
power	100 unit

ไอโซน (g/h)	COD (mg/l)		TOC (ppm)		ค่าการดูดกลืนแสง(A)	
	ก่อน	หลัง	ก่อน	หลัง	ก่อน	หลัง
0.33	12,264	9,104	3,577	3,554	1.698	1.376
0.50	12,264	7,360	3,577	3,418	1.698	1.140
0.67	12,264	7,008	3,577	3,526	1.698	1.138
1.00	12,264	6,373	3,577	3,412	1.698	1.112

1.3 เมื่อเปลี่ยนอัตราการไหลของน้ำากษา

อัตราการไหลของโอมิโซน	15 l hr	(0.5 g/h)
ปริมาตรรุ่คอลัมน์	600 ml	
เวลา	10 min	
power	100 unit	

น้ำากษา (ml/min)	COD (mg/l)		TOC (ppm)		ค่าการดูดกลืนแสง(A)	
	ก่อน	หลัง	ก่อน	หลัง	ก่อน	หลัง
30	12,264	5,520	3,577	3,385	1.698	1.078
50	12,264	5,256	3,577	3,573	1.698	1.120
75	12,264	7,360	3,577	3,418	1.698	1.140
100	12,264	11,040	3,577	3,443	1.698	1.490

1.4 เมื่อเปลี่ยนการจับเวลาในการให้น้ำากษาเข้าคอลัมน์

อัตราการไหลของโอมิโซน	15 l hr	(0.5 g/h)
อัตราการไหลของน้ำากษา	75 ml/min	
ปริมาตรรุ่คอลัมน์	600 ml	
power	100 unit	

เวลา (min)	COD (mg/l)		TOC (ppm)		ค่าการดูดกลืนแสง(A)	
	ก่อน	หลัง	ก่อน	หลัง	ก่อน	หลัง
10	12,264	7,360	3,577	3,418	1.698	1.140
20	12,264	7,373	3,577	3,498	1.698	1.218
30	12,264	7,462	3,577	3,424	1.698	1.224

1.5 เมื่อเปลี่ยนปริมาตรของน้ำากาส่าในคอลัมน์

อัตราการไหลของไอโซน	15 l hr	(0.5 g/h)
อัตราการไหลของน้ำากาส่า	75 ml/min	
power	100 unit	
เวลา	10 min	

คอลัมน์ (ml)	COD (mg/l)		TOC (ppm)		ค่าการดูดกลืนแสง(A)	
	ก่อน	หลัง	ก่อน	หลัง	ก่อน	หลัง
300	12,264	8,760	3,577	3,388	1.698	1.474
600	12,264	7,360	3,577	3,418	1.698	1.140
900	12,264	7,283	3,577	3,451	1.698	1.216

2.1 แบบไม่มีตัวเร่งปฏิกิริยา

2.1.1 เมื่อเปลี่ยนอัตราการไหลของน้ำากาส่าเมื่อความเข้มข้นไอโซน 2.96 g/h

อัตราการไหลของไอโซน	2.96	g/h
ปริมาตรจุ่วคอลัมน์	680	ml

น้ำากาส่า (ml/min)	เวลาเก็บกัก (min)	COD (mg/l)		ค่าการดูดกลืน (A)	
		ก่อน	หลัง	ก่อน	หลัง
21.80	17.52	68500	56100	0.639	0.538
50.90	7.40	68500	60700	0.639	0.558
80.00	4.53	68500	61500	0.639	0.578

2.1.2 เมื่อเปลี่ยนอัตราการไหลของน้ำากาส่าเมื่อความเข้มข้นไอโซน 3.90g/h

อัตราการไหลของไอโซน	3.90	g/h
ปริมาตรจุ่วคอลัมน์	680	ml

น้ำากาส่า (ml/min)	เวลาเก็บกัก (min)	COD (mg/l)		ค่าการดูดกลืน (A)	
		ก่อน	หลัง	ก่อน	หลัง
21.80	17.52	68500	54500	0.639	0.527
50.90	7.40	68500	57900	0.639	0.553
80.00	4.53	68500	58100	0.639	0.572

2.1.3 เมื่อเปลี่ยนอัตราการไหลของน้ำากาส่าเมื่อความเข้มข้นไอโซน 4.64 g/h

อัตราการไหลของไอโซน 4.64 g/h
ปริมาตรรุ่คอลัมน์ 680 ml

น้ำากาส่า (ml/min)	เวลาเก็บกัก (min)	COD (mg/l)		ค่าการดูดกลืน (A)	
		ก่อน	หลัง	ก่อน	หลัง
21.80	17.52	68500	49000	0.639	0.525
50.90	7.40	68500	50600	0.639	0.550
80.00	4.53	68500	50740	0.639	0.566

2.2 แบบมีตัวเร่งปฏิกิริยา

2.2.1 เมื่อเปลี่ยนอัตราการไหลของน้ำากาส่าเมื่อความเข้มข้นไอโซน 2.96 g/h

อัตราการไหลของไอโซน 2.96 g/h
ปริมาตรรุ่คอลัมน์ 680 ml

น้ำากาส่า (ml/min)	เวลาเก็บกัก (min)	COD (mg/l)		ค่าการดูดกลืน (A)	
		ก่อน	หลัง	ก่อน	หลัง
21.80	17.52	68500	54070	0.639	0.011
50.90	7.40	68500	56570	0.639	0.256
80.00	4.53	68500	60100	0.639	0.287

2.2.2 เมื่อเปลี่ยนอัตราการไหลของน้ำากาส่าเมื่อรวมเข้มข้นโอดิโซน 3.90 g/h

อัตราการไหลของโอดิโซน 3.90 g/h
ปริมาตรรุ่คอลัมน์ 680 ml

น้ำากาส่า	เวลาเก็บกัก	COD (mg/l)		ค่าการดูดกลืน (A)	
(ml/min)	(min)	ก่อน	หลัง	ก่อน	หลัง
21.80	17.52	68500	45050	0.639	0.083
50.90	7.40	68500	53190	0.639	0.195
80.00	4.53	68500	57420	0.639	0.273

2.2.3 เมื่อเปลี่ยนอัตราการไหลของน้ำากาส่าเมื่อรวมเข้มข้นโอดิโซน 4.64 g/h

อัตราการไหลของโอดิโซน 4.64 g/h
ปริมาตรรุ่คอลัมน์ 680 ml

น้ำากาส่า	เวลาเก็บกัก	COD (mg/l)		ค่าการดูดกลืน (A)	
(ml/min)	(min)	ก่อน	หลัง	ก่อน	หลัง
21.80	17.52	68500	25110	0.639	0.073
50.90	7.40	68500	32110	0.639	0.17
80.00	4.53	68500	43100	0.639	0.218

